Eigenschaften des Photons

Energie	$h\nu$ (h= Plancksche Konstante = 6,6×10 ⁻³⁴ Js)
Impuls	$p = \frac{h\nu}{c} = \frac{h}{\lambda}$
Geschwindigkeit	С
Ruhemasse	0
Relativistische Masse	$\mathbf{m} = \frac{E}{c^2} = \frac{h\nu}{c^2} = \frac{p}{c}$
Eigendrehimpuls (Spin)	$1 \ \hbar = \frac{1h}{2\pi}$

Das Photon ist das Energiequant der elektromagnetischen Wellen, d.h. Licht hat wie von Einstein postuliert nicht nur Wellencharakter, sondern auch Teilchencharakter mit den oben angegebenen Eigenschaften (Einstein bekam den Nobelpreis für den photoelektrischen Effekt und nicht wie gemeinhin angenommen für die Relativitätstheorie).

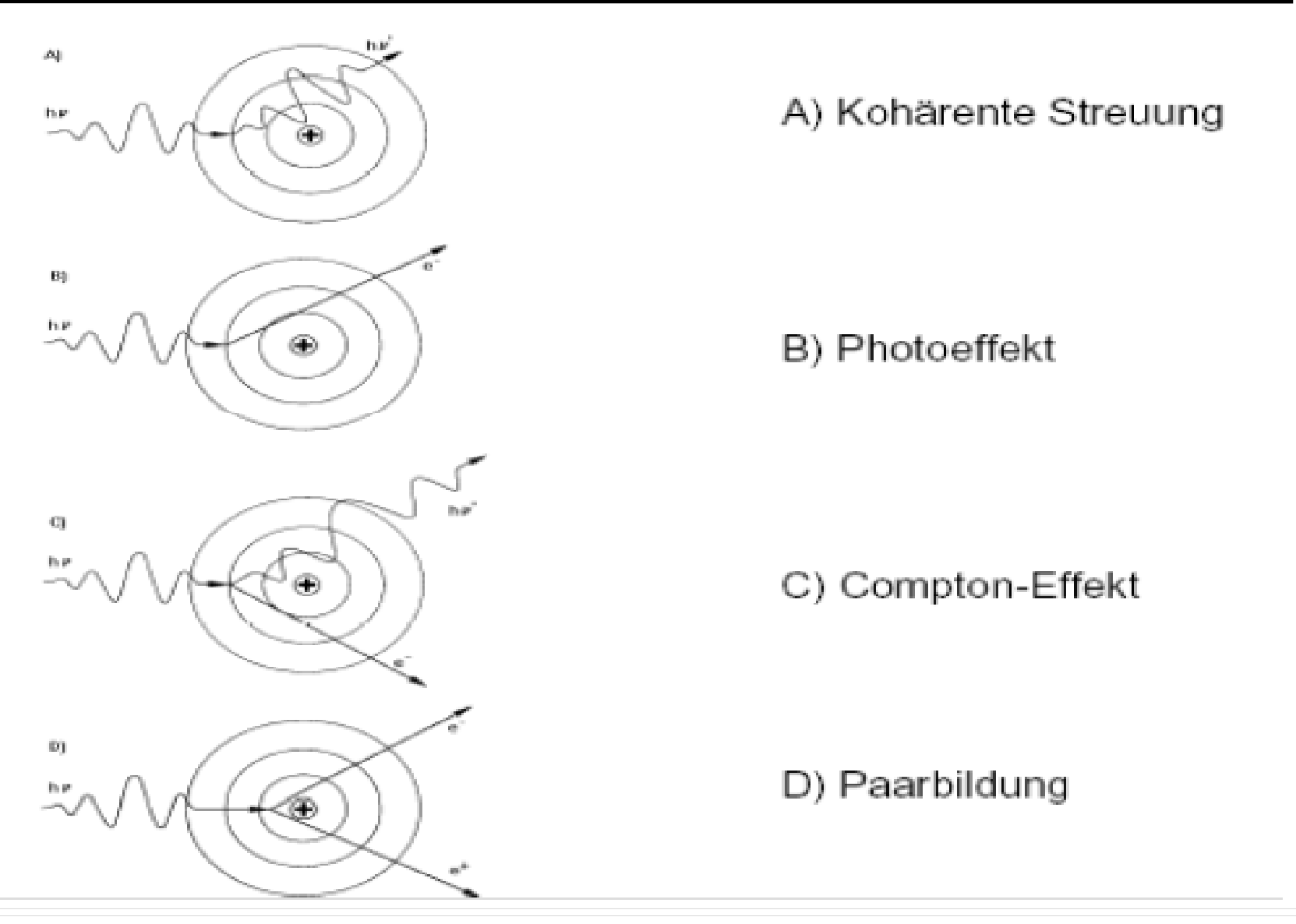
Teilchencharakter des Photons aus:

Photoeffekt Comptonstreuung Gravitation Plancksche Temperaturstrahlung

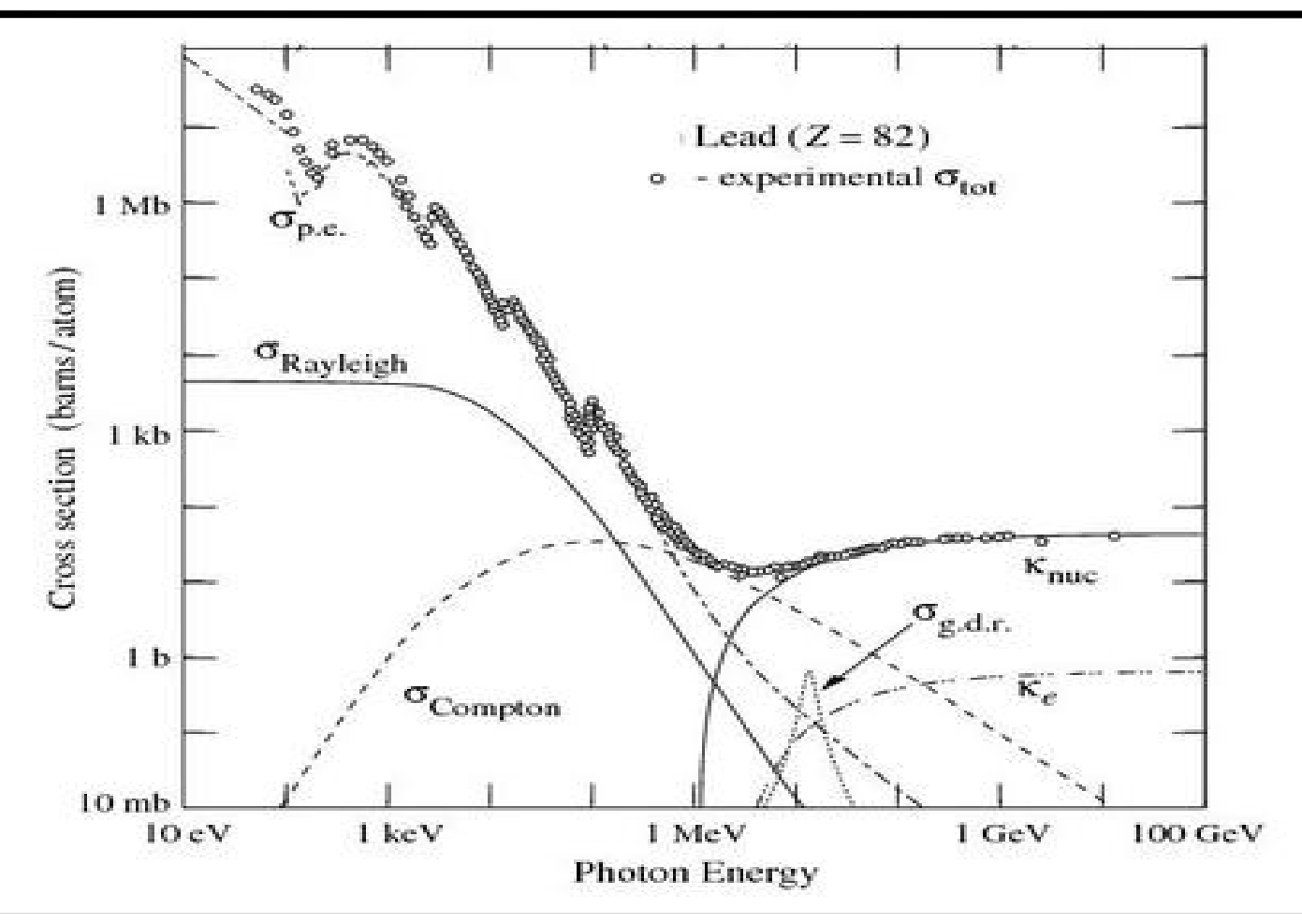
Wellencharakter des Elektrons aus:

Interferenz bei Beugung an Kristallen oder Doppelspalt

Wechselwirkung zwischen Photonen und Materie



Wechselwirkungen zwischen Photonen und Materie



 σ_{pe} <u>Photoeffekt</u>; Rayleighstreuung; Comptonstreuung; κ_{nuc} Paarproduktion im Kernfeld; κ_{e} Paarproduktion im Elektronenfeld; σ_{gdr} Absorption des Photons vom Kern (Quelle: http://physics.nist.gov/PhysRefData)



De-Broglie Beziehung

Photon: $E=hv=hc/\lambda$ und $E^2=p^2c^2+m^2c^4$

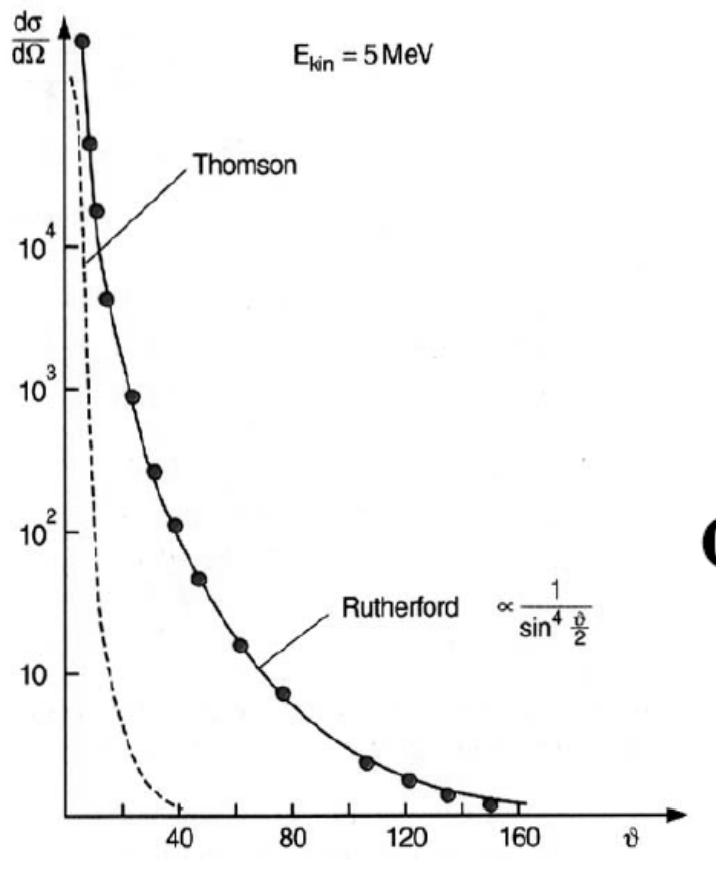
Daher: für m=0 gilt: $E=pc=hc/\lambda$ oder

$$p=h/\lambda$$
 (de Broglie)

Um Interferenzen der Elektronen zu erklären postulierte de Broglie das diese Beziehung auch für Teilchen gilt!

Winkelabhängigkeit der Rutherford-Streuung

Interpretation: Masse von Goldatom schwerer als Masse von 4 He Atom und diese Masse ist konzentriert in einem Kern mit einem Radius R von ca. 10^{-12} cm mit Ladung Ze.



Rutherford konnte zeigen, dass die 1/sin⁴(0/2) Abhängigkeit der Winkelverteilung gerade die Coulomb Streuung an einer punktförmigen Ladung entspricht.

Coulombkraft:
$$F_C = \frac{(Ze)(2e)}{4\pi\varepsilon_0 r^2}$$

Ze= Ladung des Kerns

2e= Ladung des He-Atoms

Vollständiges Termschema des H-Atoms

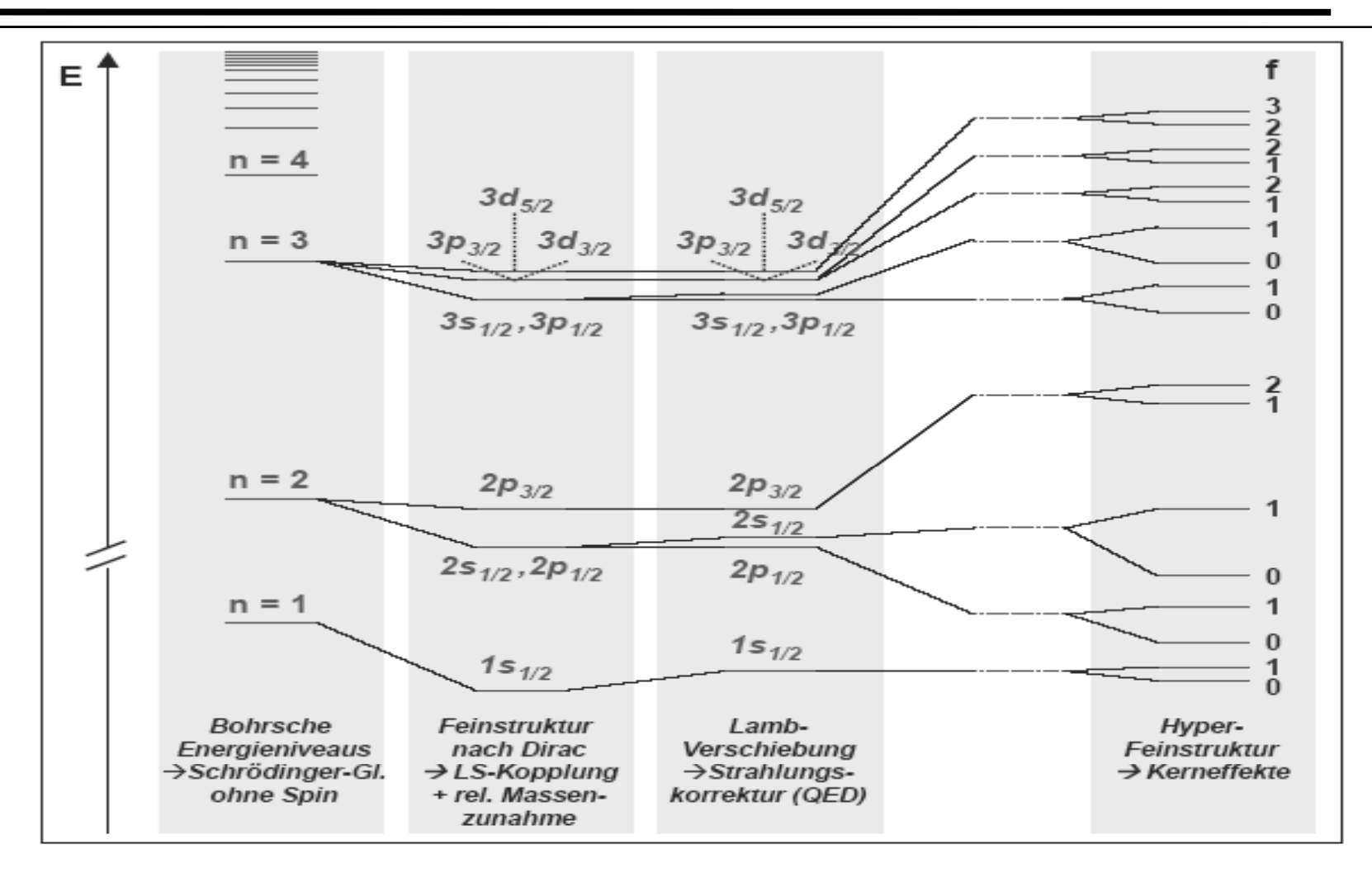
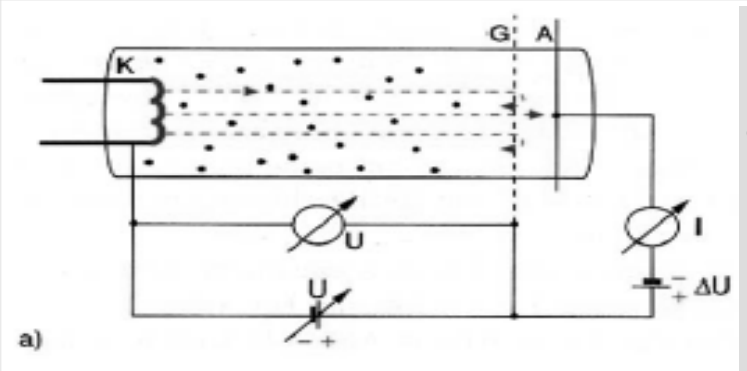
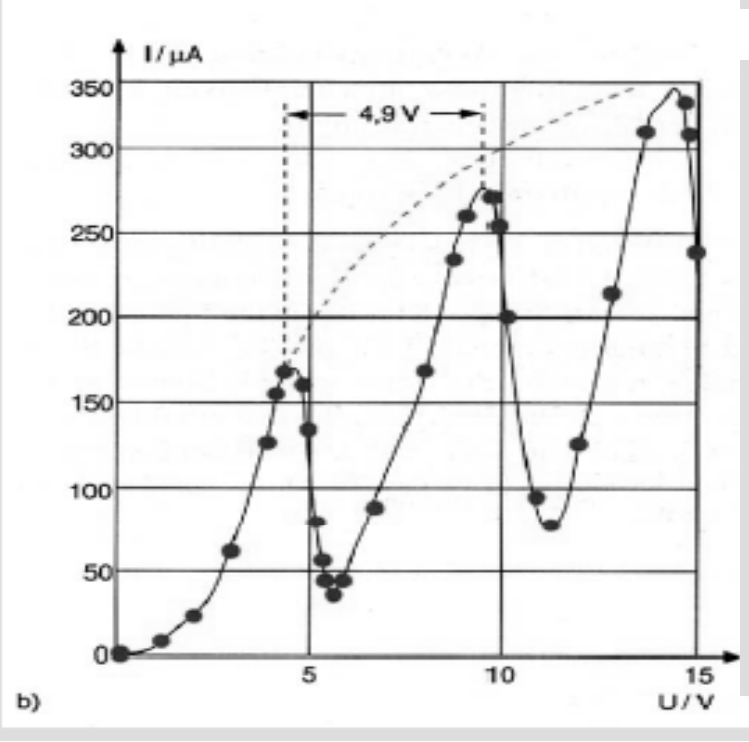


Abbildung 4.19: Vollständiges Termschema des Wasserstoffatoms mit allen bisher bekannten Wechselwirkungen. Die Fein- und Hyperfeinstruktur, sowie die Lamb-Shift sind aus Gründen der Übersichtlichkeit nicht maßstabsgerecht gezeichnet.

Frank-Hertz Versuch beweist Energie Quantelung der Energieniveaus



Franck-Hertz-Versuch. (a) Experimentelle Anordnung. (b) Verlauf des Elektronenstroms I_e(U) als Funktion der Beschleunigungsspannung in einer Röhre mit Quecksilberdampf.



Ursache: inelastische Stöße d. Eletronen mit Hg-Atomen - führen zu Anregung der Atome gemäß: $e^- + Hg \rightarrow Hg^*(E_a) + e^- - \Delta E_{kin}$

mit $\Delta E_{kin} \approx E_a$ Elektronen geben $\Delta E_{kin} \approx E_a$ als E_a an Hg-Atom ab - Energieverlust des Elektrons - El. kann - ΔU nicht überwinden.

Elastische Stöße: Elektron kann max. $m_e/m_{Hg} \approx 10^{-5}$ abgeben.

Nur elastische Stöße I(U) - gestrichelte Verlauf.

Bei höherer Beschleunigungsspannung - mehrere inelastische Stöße möglich.

Auswahlregeln für erlaubte Übergänge

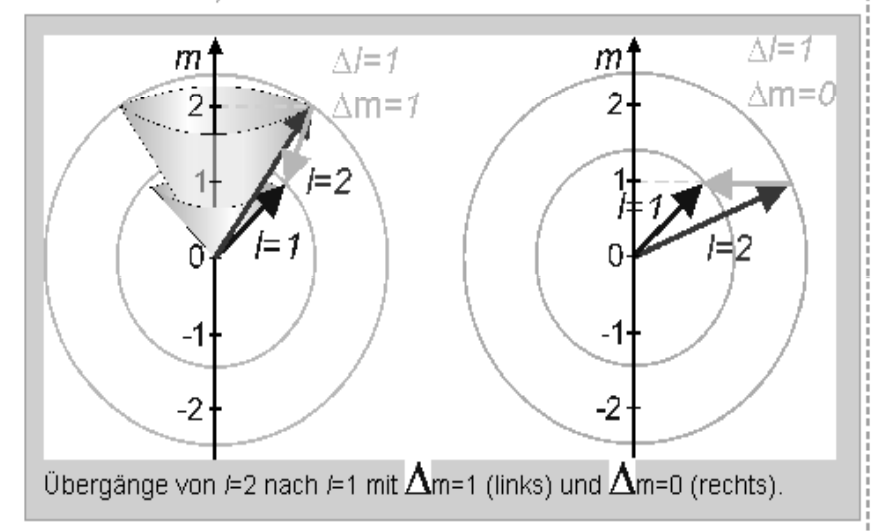
Spektroskopische Nomenklatur

l012345SymbolspdfghEntartung1357911

Zu jedem Wert des Drehimpulses gibt es 2/+1 Zustände gleicher Energie: Die Zustände sind 2/+1-fach entartet.

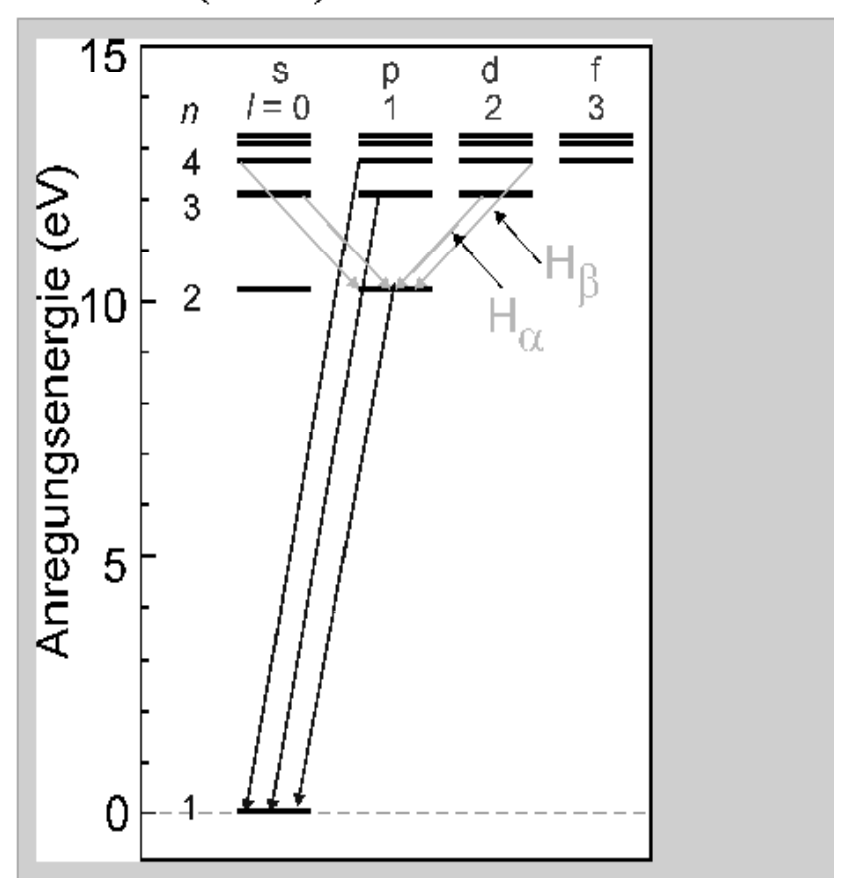
Übergänge unterliegen den Auswahlregeln

- ^ ∆/ = ±1
- $\Delta m = 0,\pm 1$



Das Termschema des Wasserstoffatoms mit diskreten Energieeigenwerten:

$$E_n = -\left(\frac{e^2}{4\pi\varepsilon_0}\right)^2 \frac{m_e}{2\hbar^2} \frac{1}{n^2}$$



Räumliche Einstellung eines Drehimpulses

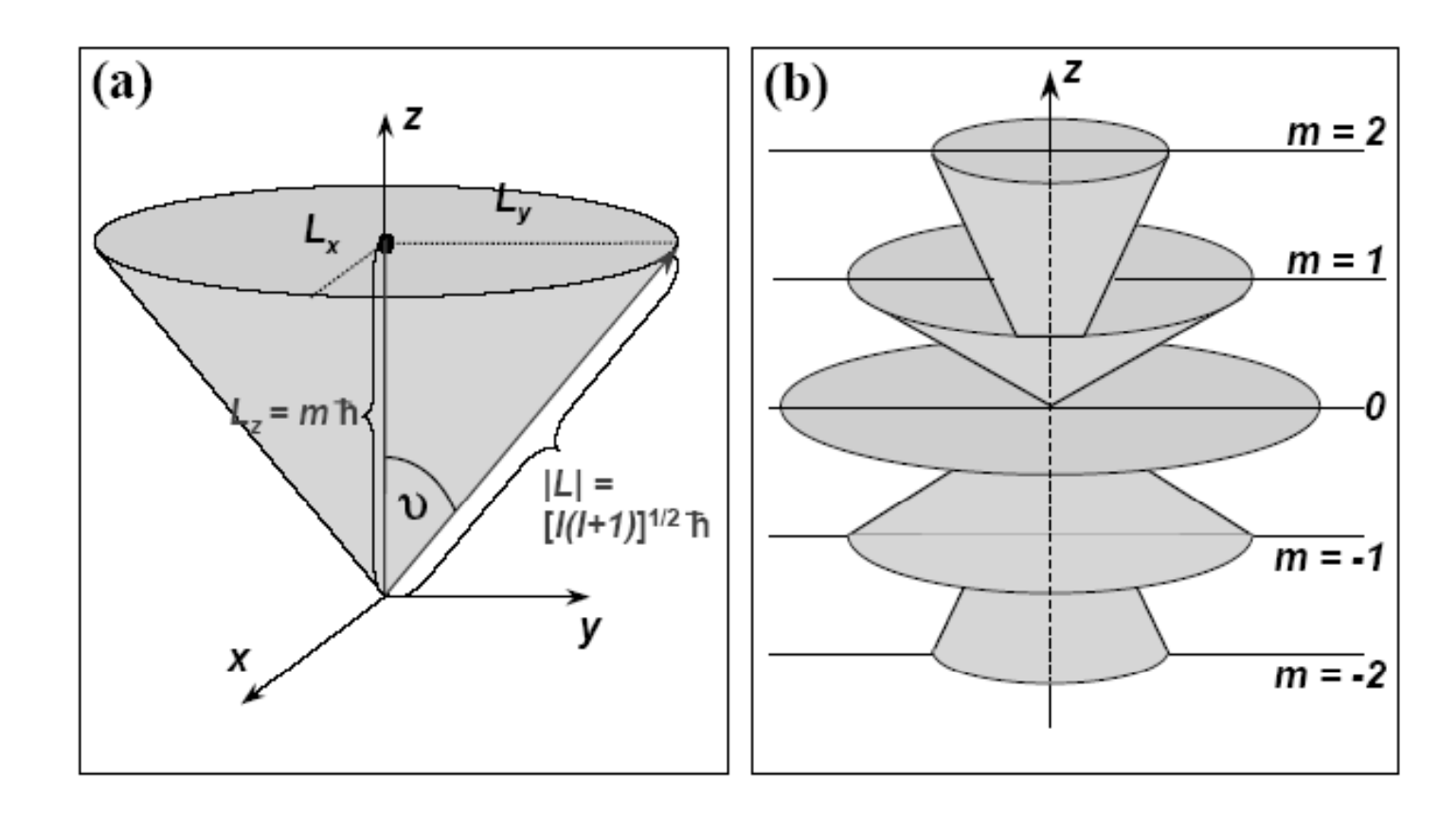


Abbildung 3.11: (a) Räumliche Einstellung eines Drehimpulses. (b) Einstellmöglichkeiten des Drehimpulses **L** mit der Quantenzahl l = 2. L_x und L_y sind unbestimmbar, nachdem |L| und L_z festgelegt wurden und liegen auf Kegelmänteln.

Eigenfunktionen des Drehimpulsoperators sind die Kugelflächenfunktionen. Für jedes Paar Quantenzahlen I,m gibt es eine eigene Funktion $Y_{l,m}(\theta,\phi)$

Vektormodell für J=L+S

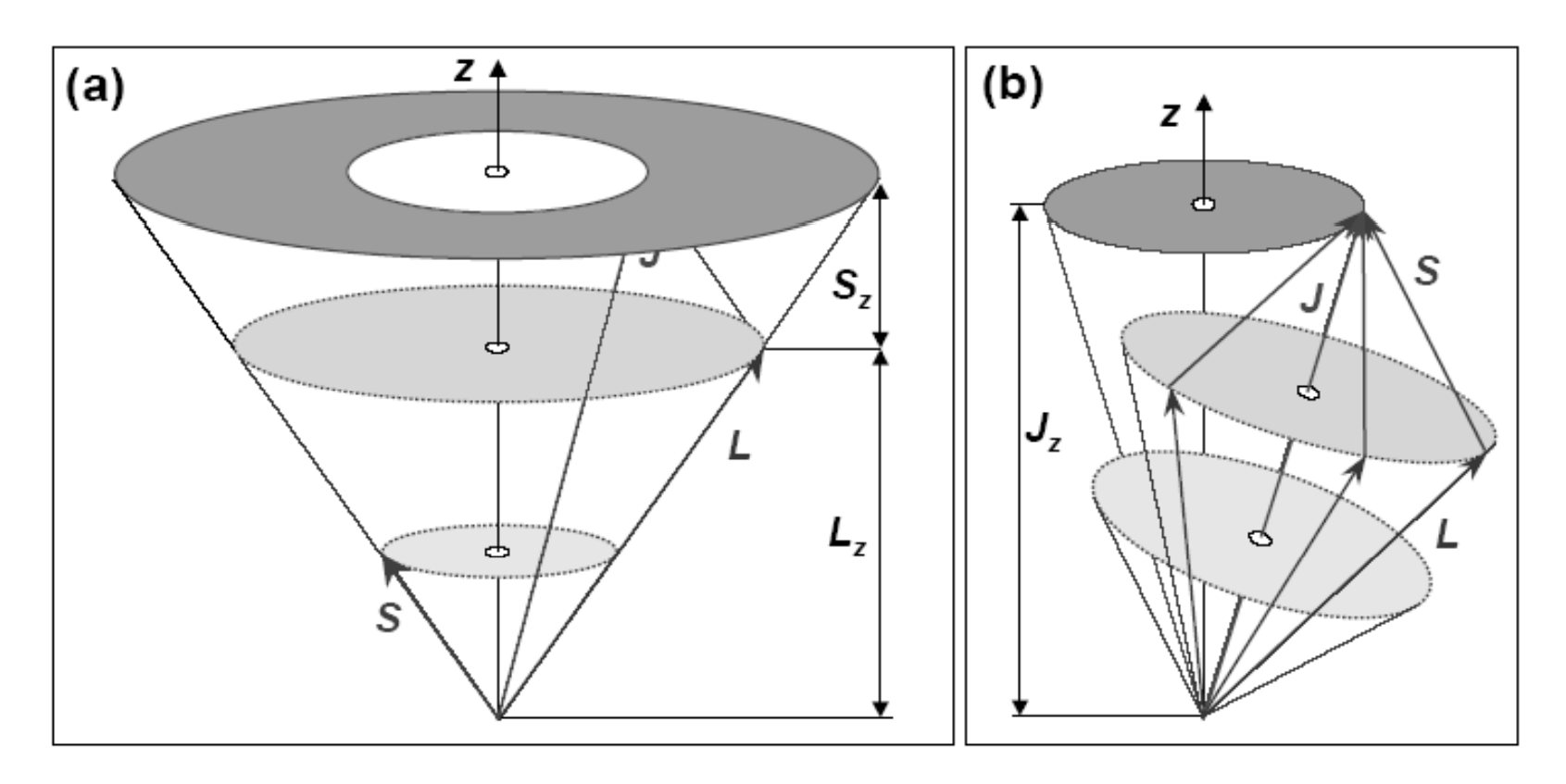


Abbildung 4.3: Vektormodell der Kopplung des Bahndrehimpulses \mathbf{L} und des Spins \mathbf{S} zum Gesamtdrehimpuls \mathbf{J} . In (a) ist der Zustand charakterisiert durch die Quantenzahlen (m,l,s,m_s) und ist damit Eigenzustand zu den Operatoren $\widehat{\mathbf{L}}^2$, $\widehat{\mathbf{S}}^2$, $\widehat{\mathbf{L}}_z$ und $\widehat{\mathbf{S}}_z$. Im Vektormodell kommt dies dadurch zum Ausdruck, dass sowohl \mathbf{L} als auch \mathbf{S} um die z-Achse präzedieren. \mathbf{J}^2 ist damit nicht definiert, wohl aber J_z , d.h. der Gesamtdrehimpuls besitzt eine feste Projektion auf die z-Achse. In (b) präzedieren sowohl \mathbf{L} als auch \mathbf{S} um die Richtung des Gesamtdrehimpulses \mathbf{J} . Damit ist weder die Projektion von \mathbf{L} noch von \mathbf{S} auf die z-Achse fest, d.h. m und m_s sind keine guten Quantenzahlen mehr. Hingegen ist die Projektion von \mathbf{J} auf die z-Achse fest. Der Zustand kann also durch die Quantenzahlen (j,m_j,l,s) charakterisiert werden.

Zusammenfassung Spin des Elektrons

Eigenschaften des Elektrons:

- ▶ Spinquantenzahl s=1/2
- ▶ innerer Drehimpuls (Spin) $S = (s(s+1))^{1/2}$
- ▶ magnetische Spinquantenzahl $m_{_{S}}$ = ±1/2

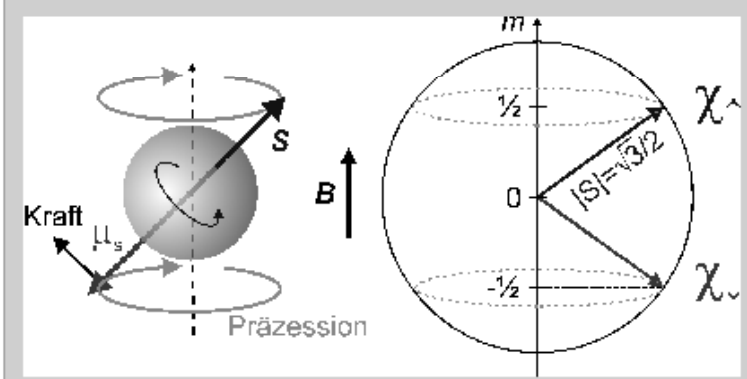
Magnetisches Moment des Elektrons

$$\vec{\mu}_{s} = -g_{s} \frac{e}{2m_{e}} \vec{S} = -g_{s} \mu_{B} \vec{S} / \hbar$$

mit dem G-Faktor g_s =2.0024

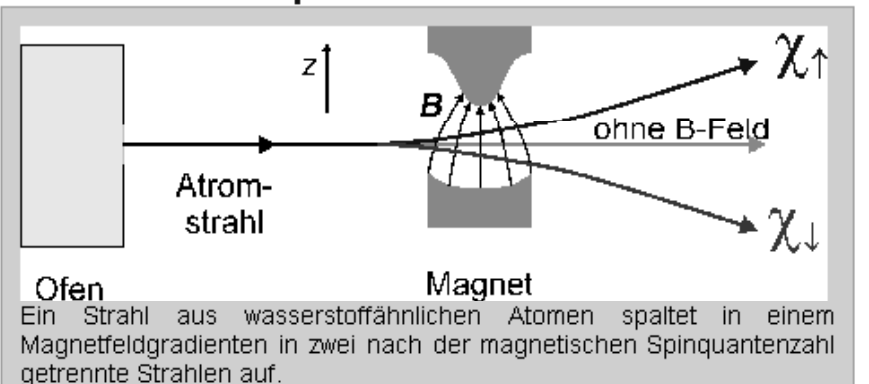
Die Wellenfunktion des Elektrons im H-Atom wird um den Spinanteil X ergänzt, die nur 2 Werte annimmt

$$\psi_{nlm \, m_s} = R_{nl} Y_l^m \chi_{m_s}$$



Der Spin kann als Rotation des Elektrons um die eigene Achse aufgefasst werden (links), wobei das Elektron allerdings punktförmig ist! Im Magnetfeld kann sich der Spin in zwei Positionen ausrichten (rechts). Dann bewirkt das Drehmoment eine Präzessionsbewegung.

Stern-Gerlach-Experiment



Erklärung

auf magnetisches Moment wirkt die Kraft

$$F_z = -\mu_z \frac{\mathrm{d}B}{\mathrm{d}z} = g_s \frac{e m_s \hbar}{m_e} \frac{\mathrm{d}B}{\mathrm{d}z}$$

dies führt zur Ablenkung des Strahls in Abhängigkeit von der magnetischen Spinguantenzahl.

Im Magnetfeld erzeugt das magnetische Momente ein Drehmoment, das wie beim Kreisel zu einer Präzessionsbewegung mit der Larmor-Frequenz führt:

$$\omega_L = \frac{\vec{p}_m \times \vec{B}}{L_z} = \frac{p_m B}{L} = \frac{\mu_s B}{S} = \frac{2g_s}{\hbar} B$$

Zusammenfassung Spin-Bahn-Kopplung

Gesamtdrehimpuls des Elektrons setzt sich aus Spinund Bahnanteil vektoriell zusammen:

$$\vec{J} = \vec{L} + \vec{S}$$

Es gelten die quantenmechanischen Eigenschaften:

$$J^2 = j(j+1)\hbar^2$$

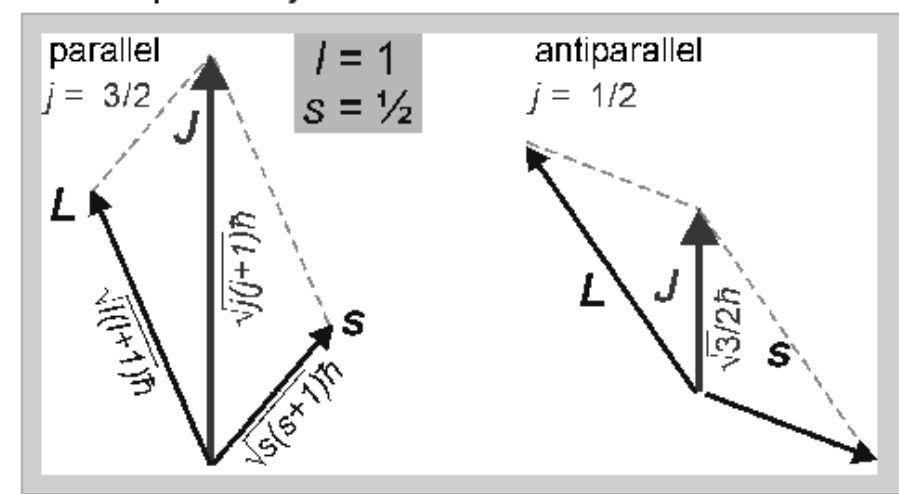
$$J_z = m_j \hbar$$

$$-j \le m_j \le j$$

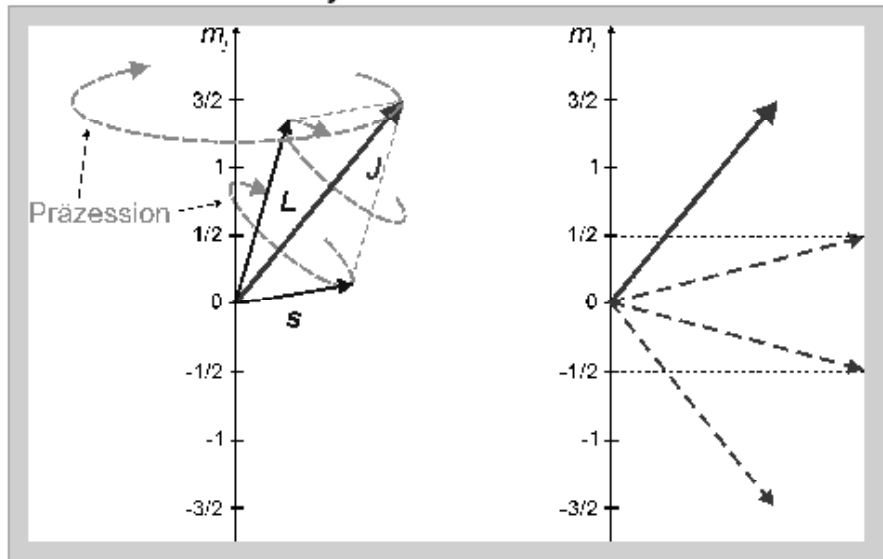
Beim H-Atom kann die Gesamtspinquantenzahl je nach Kopplung zwei Werte annehmen:

▶ parallel: *j*=/+1/2

▶ antiparallel: j=l-1/2



Die Zustände sind 2j+1-fach entartet.



Gleichzeitig scharf gemessen können werden:

- ▶ Bahndrehimpuls $L^2 = I(I+1)\hbar^2$
- Gesamtdrehimpuls $J^2 = j(j+1)\hbar^2$
- ▶ Projektion des Gesamtdrehimpulses $J_{\tau} = m_{i} \hbar$

Nicht scharf messbar sind die

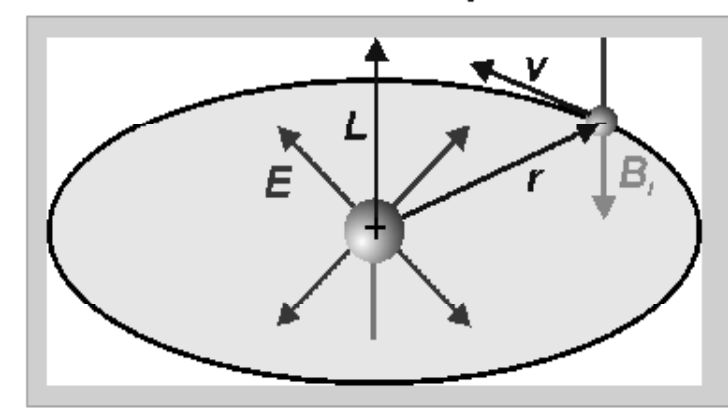
- Projektion des Bahndrehimpulses m,
- Projektion des Spins m_s

Für Übergänge muss gelten: $\Delta l = \pm 1$, $\Delta j = 0, \pm 1$, $\Delta m = 0, \pm 1$. $\Delta j = 0$ (Spin-flip) ist unwahrscheinlicher.

Energieverschiebung durch Spin-Bahn-Kopplung

Bohr-Atommodell: Im *E*-Feld des Kerns bewegtes Elektron sieht *B*-Feld:

$$B_{l} = \frac{1}{c^{2}} \vec{v} \times \vec{E} = \frac{e}{4\pi\varepsilon_{0}c^{2}} \frac{\vec{v} \times \vec{r}}{r^{3}}$$



Quantenmechanische Rechnung ergibt zusätzlichen Thomas-Faktor 1/2. Mit Coulomb-Feld:

$$B_l = -\frac{1}{2} \frac{\mu_0 e}{4\pi m_e r^3} \vec{L}$$

Es folgt die LS-Wechselwirkungsenergie

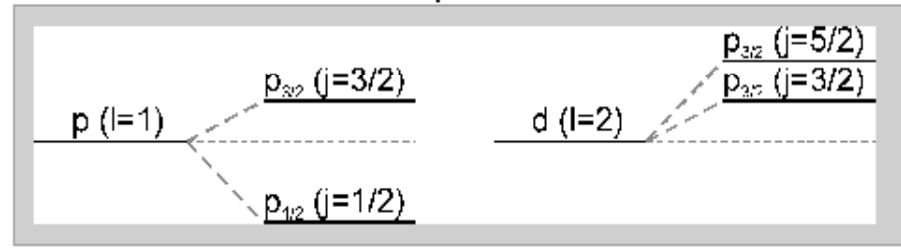
$$E_{ls} = -\mu_s B_l = \frac{\mu_0 e}{8\pi m_e^2 r^3} \vec{S} \vec{L}$$

Mit
$$J^2 = L^2 + S^2 + LS$$
 und $\langle r^{-3} \rangle = \int r^{-3} |\psi|^2 d^3 r$

folgt eine Niveauverschiebung um

$$E_{ls} \sim \frac{Z^4(j(j+1)-l(l+1)-s(s+1))}{n^3l(l+1/2)(l+1)}$$

Alle Niveaus außer / = 0 spalten in Doubletten auf



Bei LS-Kopplung wird Zustand durch die Quantenzahlen $nljm_j$ beschrieben. m_j und m_s sind unbestimmt.

Spektroskopische Nomenklatur: $n^{2s+1}I_i$

$$^{\bullet}$$
 3²d_{5/2} (n=3, s=1/2, l=2, j=5/2)

►
$$1^2$$
s_{1/2} (n=1, s=1/2, l=0, j=1/2)

<u>Der anomale Zeeman-Effekt (mit Spin)</u> (= Normalfall!)

Gesamt magnetisches Moment aus Spin und Bahnanteil:

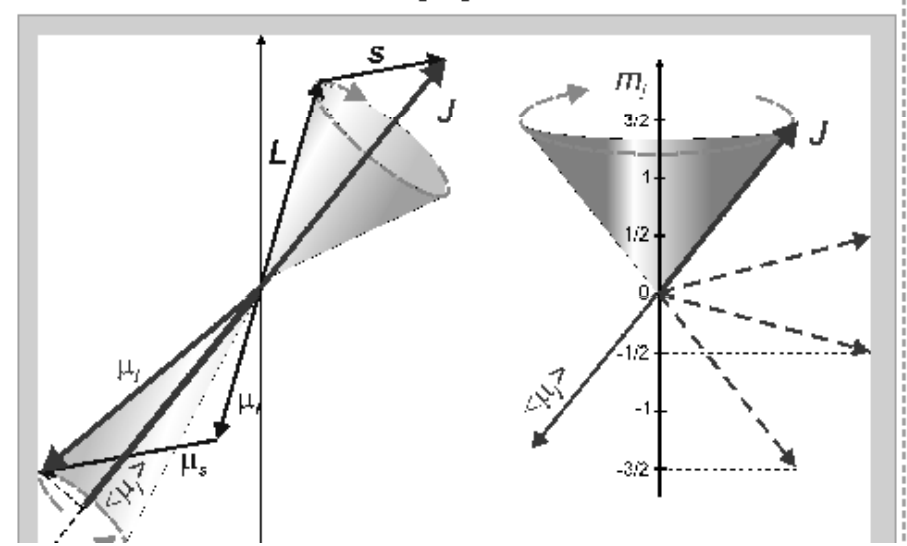
$$\vec{\mu}_j = -\frac{e}{2m_e} (\vec{L} + g_s \vec{S})$$

Wegen Präzession um J ist nur die Projektion relevant

$$\langle \vec{\mu}_j \rangle = \frac{\vec{\mu}_j \vec{J}}{J} = g_j \mu_B J / \hbar$$

mit dem Landé-Faktor

$$g_j = 1 + \frac{j(j+1) - l(l+1) + s(s+1)}{2j(j+1)}$$



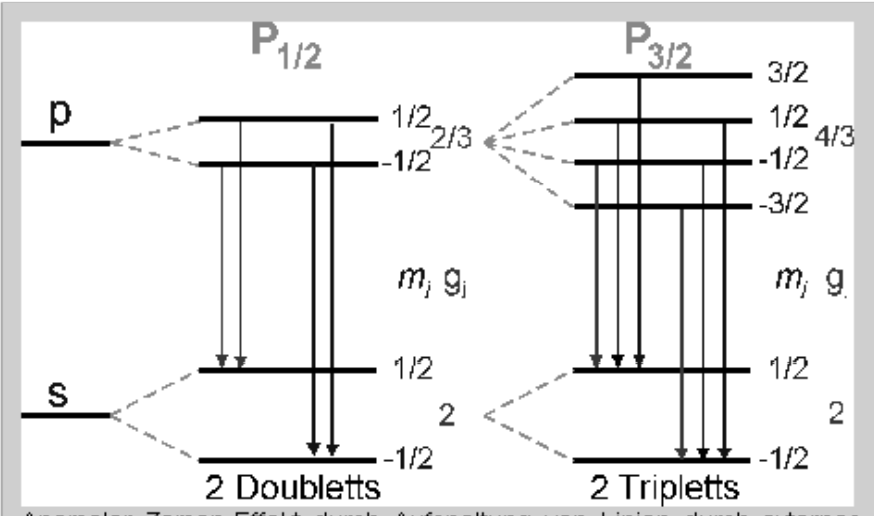
Linienaufspaltung im Magnetfeld analog zu 🚥

$$E_{m_j} = -\langle \vec{\mu}_j \rangle \vec{B} = \mu_B g_j m_j B$$

wegen g_j hängt die Aufspaltung von j ab.

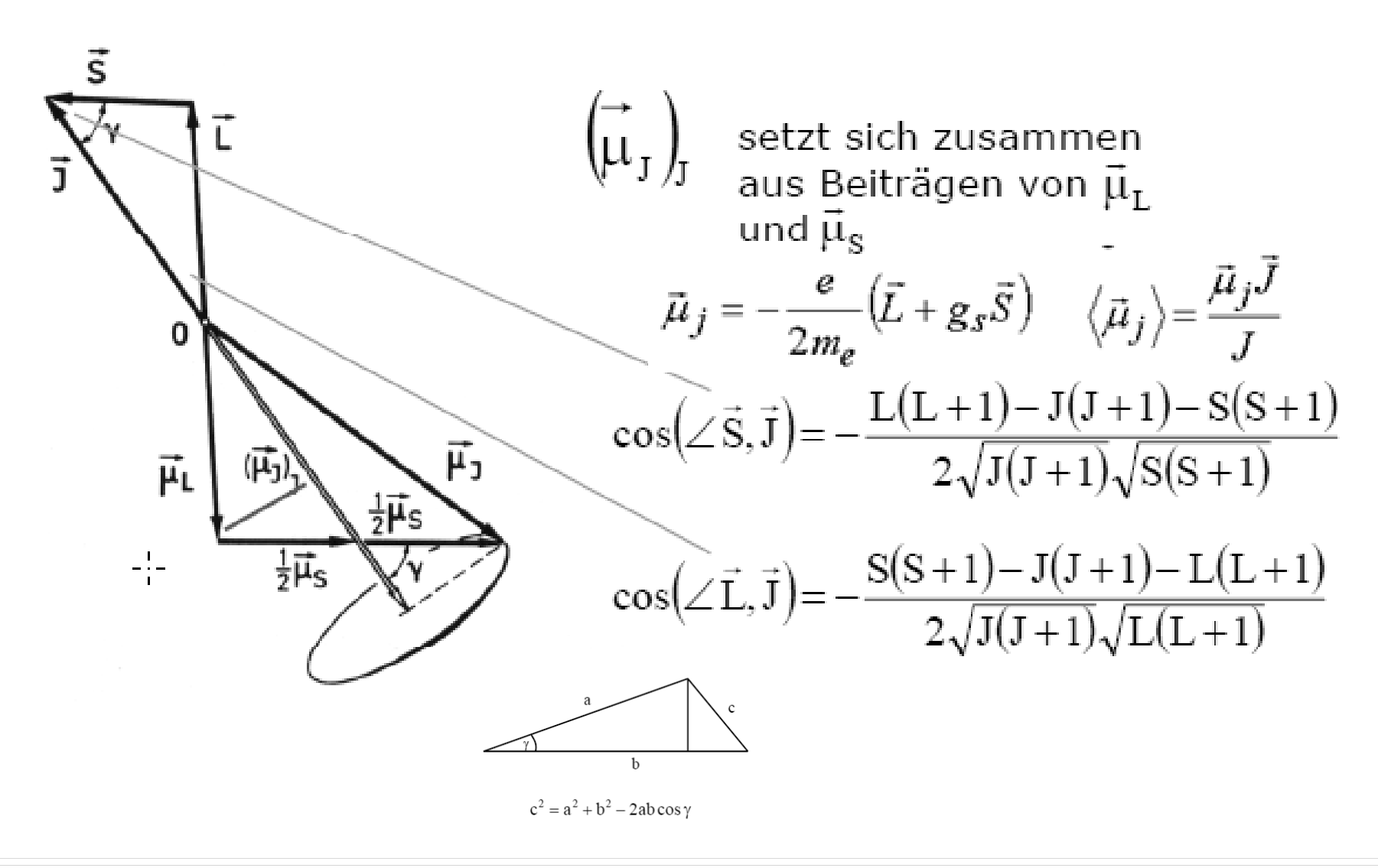
Beispiele:

- s=0, $j=l => g_j=1$
- ▶ $l=0, j=s => g_i=2$
- I=1, $j=1/2 \Rightarrow g_j=2/3$
- I=1, j=3/2 => g_j=4/3



Anomaler Zeman-Effekt durch Aufspaltung von Linien durch externes Magnetfeld (vgl. 🖚) Auswahlregel für Übergänge gelten nach 🗪.

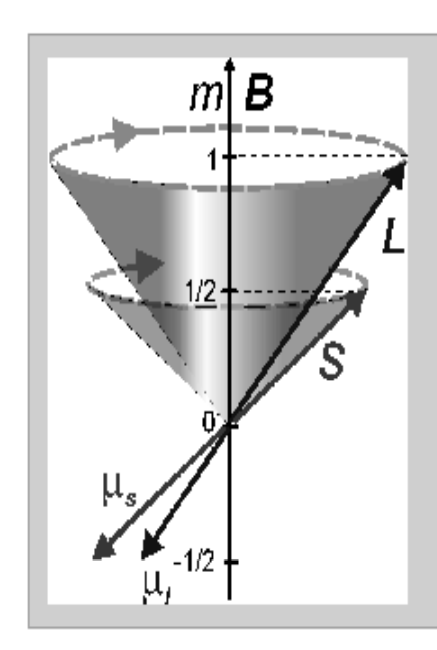
Berechnung des Landé-Faktors



Paschen-Back-Effekt

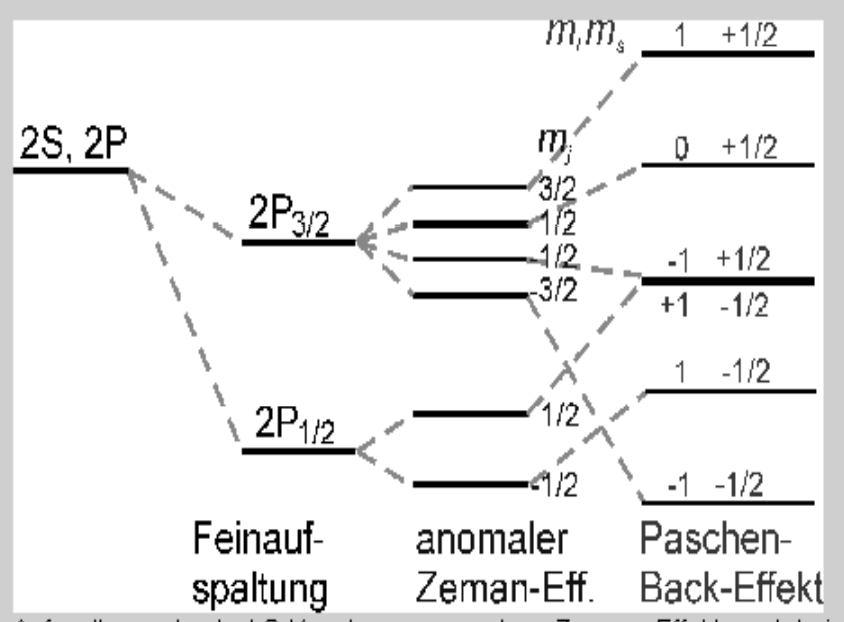
Bei sehr starken Magnetfeldern wird die LS-Kopplung überwunden.

L und S koppeln dann unabhängig voneinander an das externe Magnetfeld.



Dies führt zu der Energieaufspaltung $\Delta E = (m_l + g_s m_s) \mu_B B$

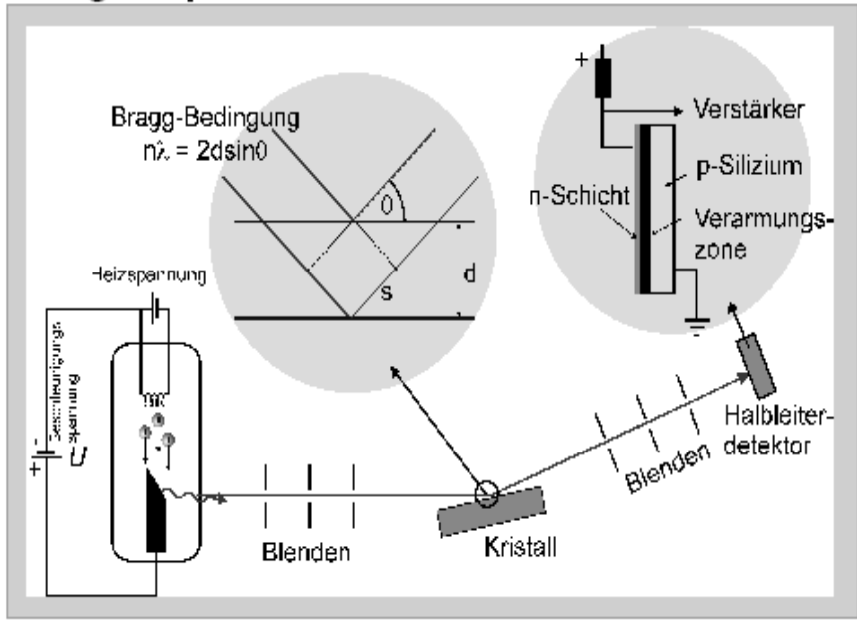
Termschema



Aufspaltung durch LS-Kopplung, anomalem Zeeman-Effekt und bei stärkerem Feld getrennter Kopplung von L und S.

Röntgenstrahlung

Röntgen-Spektrometer



Spektroskopie der inneren Schalen.

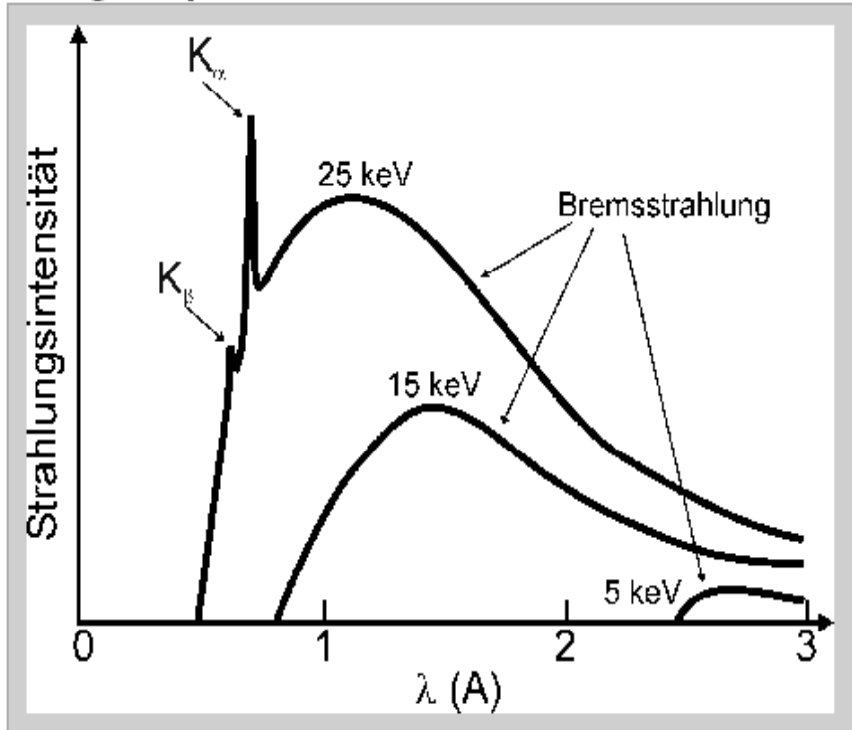
$$\lambda = 0.1-10 \text{ Å}$$

Röntgen-Bremsspektrum 📾

- Kontinuierlich
- Grenzfrequenz $v_{max} = eU/h$

$$^{\blacktriangleright} \ \textit{I}(\nu) \sim \textit{Z}(\nu_{\text{max}} \text{-} \nu)$$

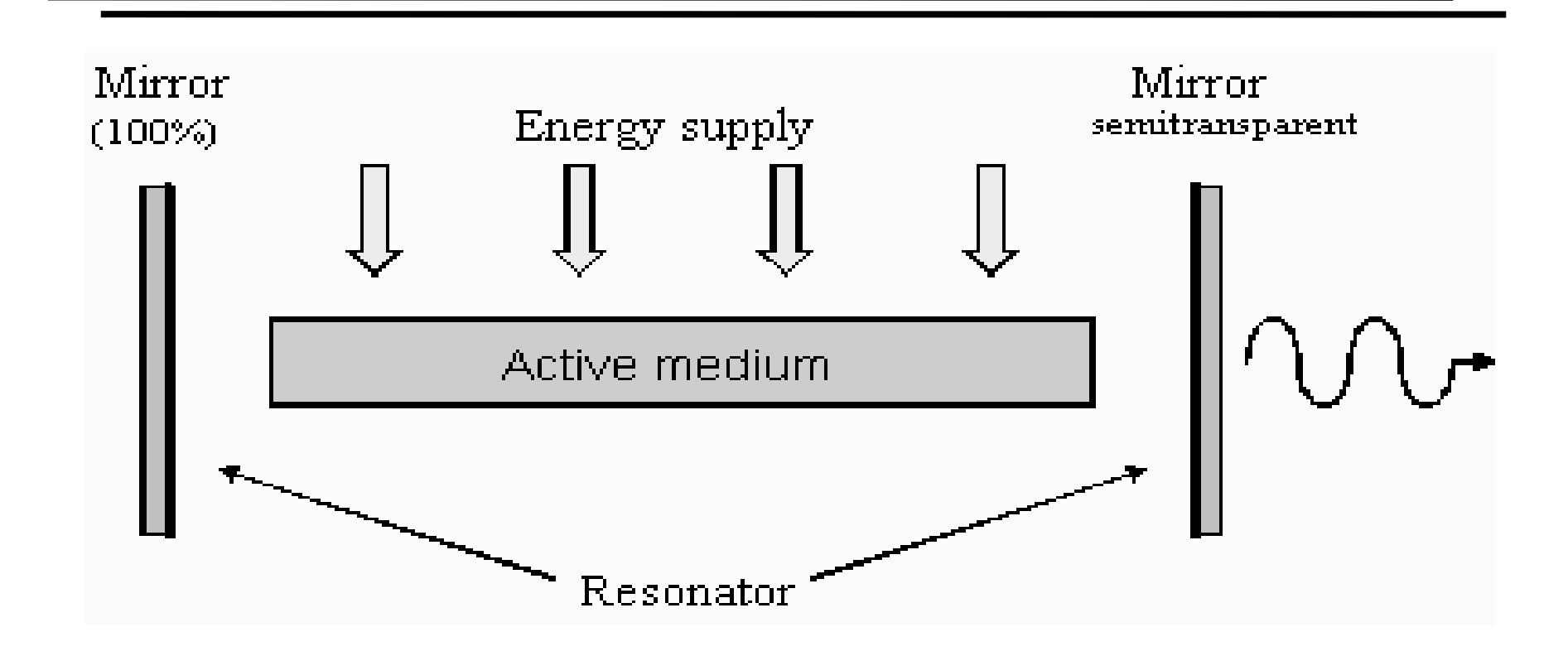
Röntgen-Spektrum



Charakteristisches Spektrum

- Wenige Linien
- Zusammengefasst in Serien
- Kurzwellige Grenzfrequenz (Serienkante)
- Serien verschieben sich mit Z zu höheren Energien

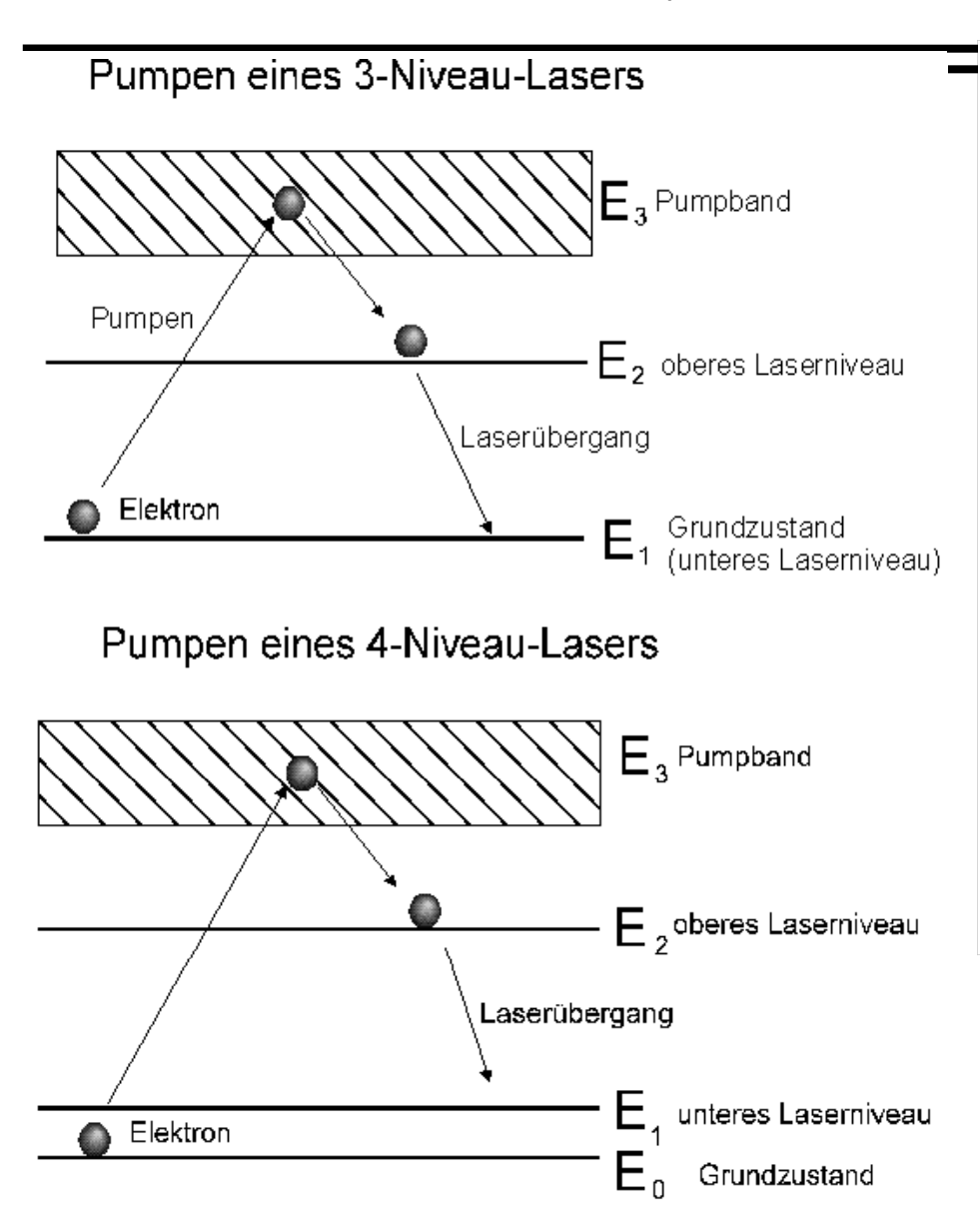
Aufbau eines Lasers



Komponenten: Medium mit metastabilen Energieniveaus Resonator mit Spiegeln Energiequelle zum Pumpen

19

Pumpen eines Lasers



Um die Elektronen in einen angeregten Zustand zu bringen, muß der Laser "gepumpt" werden. Dies kann z.B. durch Gasentladung, Licht oder andere Laser geschehen. Bei einem 3-Niveau-Laser wird dabei ein Elektron in ein noch höheres Energieniveau gebracht und fällt dann wieder auf das Energieniveau E2 zurück (siehe Skizze). Die dabei entstehende Energie wird als Wärme abgegeben.

Freq. des Lasers:

$$\mathbf{v} = \frac{\mathbf{E}_2 - \mathbf{E}_1}{h}$$

Periodensystem

1	2
	He
3 4 5 6 7 8 9 B	10
Li Be B C N O F	Ne
11 12 13 14 15 16 17 I	18
Na Mg Al Si P S Cl	Αг
19 20 21 22 23 24 25 28 27 28 29 30 31 32 33 34 35	36
K Ca Sc Ti V Cr Mn Fe Co Ni Cu Zn Ga Ge As Se Br	Kr
37 38 39 40 41 42 43 44 45 46 47 48 49 50 51 52 53	54
Rb Sr Y Zr Nb Mo To Ru Rh Pd Ag Cd In Sn Sb Te I	Χe
55 56 57 72 73 74 75 76 77 78 79 80 81 82 83 84 85	55
Cs Ba La Hf Ta W Re Os Ir Pt Au Hg Tl Pb Bi Po At	∃.
87 88 89 104 105	
Fr Ha Ac Rf Ha	
5B 59 0D 01 62 03 64 65 66 07 58 09 7D 71	
Ce Pr Nd Pm Sm Eu Gd Tb Dy Ho Er Tm Yb Lu	
90 91 92 93 94 95 96 97 98 99 100 101 102 103	
Th Pa U Np Pu Am Cm Bk Cf Es Fm Md No Lr	

Elektronenanordnung im Grundzustand

Sc	hal	е	K	L			М		N	Sch	nale		K	ı			M			N		()
z		Element	1s	2s	2p	3s	3р	3d	4s	z		Element	1s	2s	2p	3s	3р	3d	4s	4р	4d	5s	5р
1 2	H He	Wasserstoff Helium	1 2							28 29 30		Nickel Kupfer Zink	2 2 2	2 2 2	6 6	2 2 2	6 6	8 10 10	2 1 2				
3 4 5 6 7 8	Be B C N	Lithium Beryllium Bor Kohlenstoff Stickstoff Sauerstoff	2 2 2 2 2 2	1 2 2 2 2 2	1 2 3 4					31 32 33 34 35 36	Ga Ge Ar Se Br Kr	Gallium Germanium Arsen Selen Brom Krypton	2 2 2 2 2	2 2 2 2 2	6 6 6 6 6	2 2 2 2 2	66666	10 10 10 10 10	2 2 2 2 2 2	1 2 3 4 5 6			
9 10	F Ne	Fluor Neon	2	2	5 6					37	Rb	Rubidium	2	2	6	2	6	10	2	6		1	
11 12 13 14 15 16 17 18	Mg Al Si P S Cl	Natrium Magnesium Aluminium Silizium Phosphor Schwefel Chlor Argon Kalium Calcium	2 2 2 2 2 2 2 2 2	2 2 2 2 2 2 2 2 2	6 6 6 6 6 6 6 6	1 2 2 2 2 2 2 2 2 2	1 2 3 4 5 6		1 2	38 39 40 41 42 43 44 45 46 47 48	Tc Ru Rh Pd Ag	Strontium Yttrium Zirkonium Niob Molybdän Technetium Ruthenium Rhodium Palladium Silber Cadmium	2 2 2 2 2 2 2 2	2 2 2 2 2 2 2 2 2 2 2 2 2 2 2 2 2 2 2	6 6 6 6 6 6 6 6	2 2 2 2 2 2 2 2 2	6 6 6 6 6 6 6 6	10 10 10 10 10 10 10 10 10	2 2 2 2 2 2 2 2 2 2 2 2 2 2 2 2 2 2 2	6 6 6 6 6 6 6	1 2 4 5 6 7 8 10 10	2 2 1 1 1 1 1 2	
21 20 23 24 25 26 27	Sc Ti V Cr Mn Fe	Scandium Titan Vanadium Chrom Mangan Eisen Kobalt	2 2 2 2 2 2 2	2 2 2 2 2 2	6 6 6 6 6	2 2 2 2 2 2	0 6 6 6 6 6 6	1 2 3 5 5 6 7	2 2 2 1 2 2 2	49 50 51 52 53 54	Sn Sb Te I	Indium Zinn Antimon Tellur Iod Xenon	2 2 2 2 2 2	2 2 2 2 2 2	6 6 6 6	2 2 2 2 2 2	6 6 6 6 6	10 10 10 10 10	2 2 2 2 2 2 2	6 6 6 6	10 10 10 10 10	2 2 2 2 2 2	1 2 3 4 5 6

Beispiel der QZ für die np² Konfiguration

Ψ_{B}	Ψ_{S}	L	s	m _{i1}	m _{I2}	m _{s1}	m ₈₂	Ms	M.	Term
S	A S	0	0	0	0	+ 1/2	- 1/2	0	0	1S ₀
A	5	1	0	0	-1	+ 1/2	+ 1/2	+1	0	3P ₀
A	S			+1	-1	+ 1/2	+ 1/2	+1	+1	
A	3	1	1	+1	0	- 1/2	- 1/2	-1	0	3P ₁
				+1	-1	- 1/2	- 1/2	-1	-1	
				+1	0	+ 1/2	+ 1/2	+1	+2	
A				+1	-1	+ 1/2	+ 1/2	+1	+1	
A	S	1	1	0	0	+ 1/2	- 1/2	0	0	³ P ₂
				+1	-1	- 1/2	- 1/2	-1	-1	
				0	-1	- 1/2	- 1/2	-1	-2	
				+1	+1	+ 1/2	- 1/2	0	+2	
				+1	0	+ 1/2	- 1/2	0	+1	
S	A	2	0	0	-1	+ 1/2	- 1/2	0	0	¹ D ₂
J	^			0	-1	+ 1/2	- 1/2	0	-1	
				-1	-1	+ 1/2	- 1/2	0	-2	

Tabelle 7.2: Mögliche Zustände der Konfiguration np^2 mit Quantenzahlen $L, S, m_{l_1}, m_{l_2}, m_{s_1}, m_{s_2}, M_S = m_{s_1} + m_{s_2}$ m_{s_2} und $M_J = m_{l_1} + m_{l_2} + m_{s_1} + m_{s_2}$ für gleiche Hauptquantenzahlen $n_1 = n_2$ der beiden p-Elektronen.

Wim de Boer, Karlsruhe

Verbotene QZ

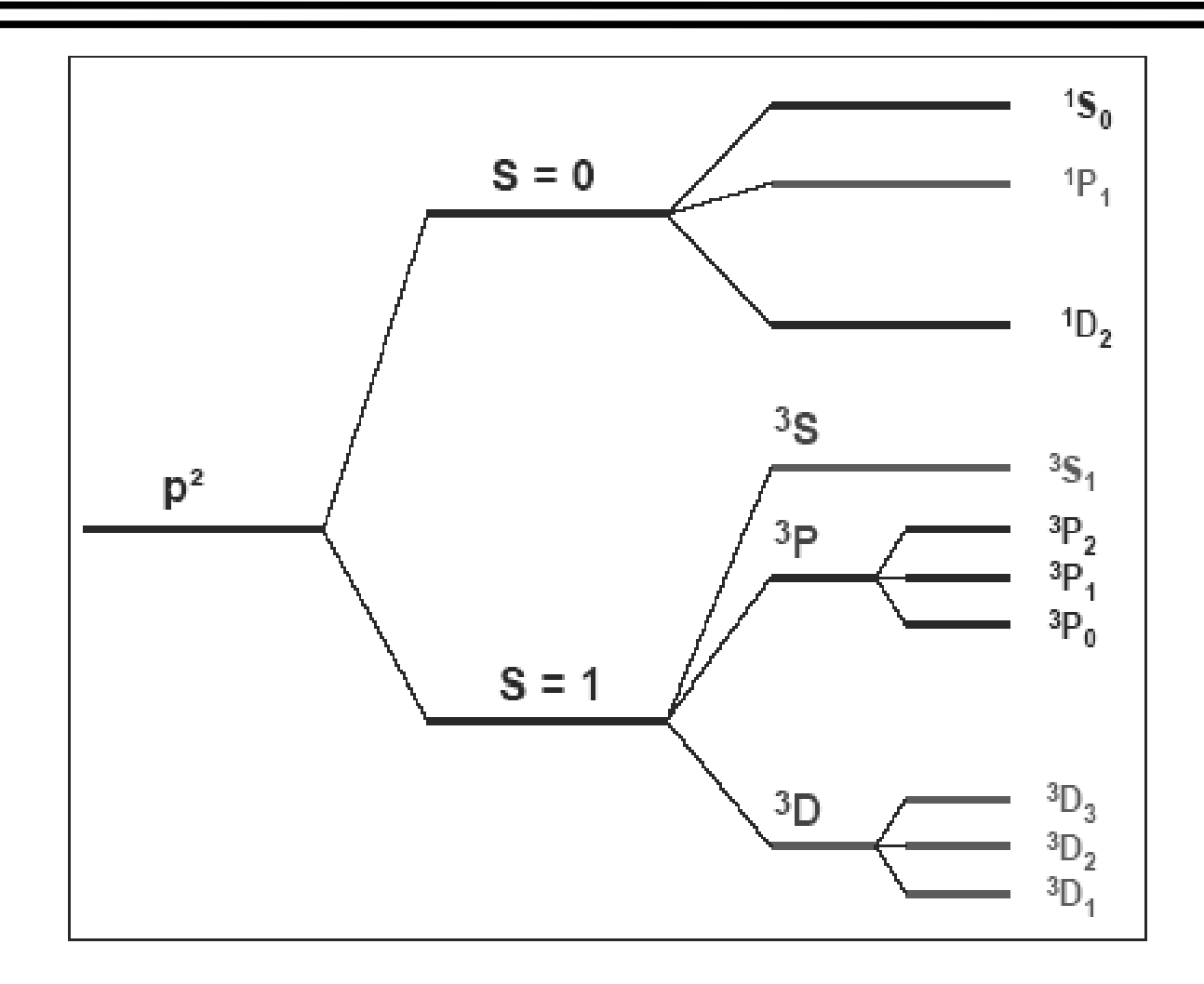


Abbildung 7.7: Mögliche Atomterme der p^2 -Konfiguration. Die rot markierten Terme sind aufgrund des Pauli-Prinzips verboten.

Homonukleare Moleküle

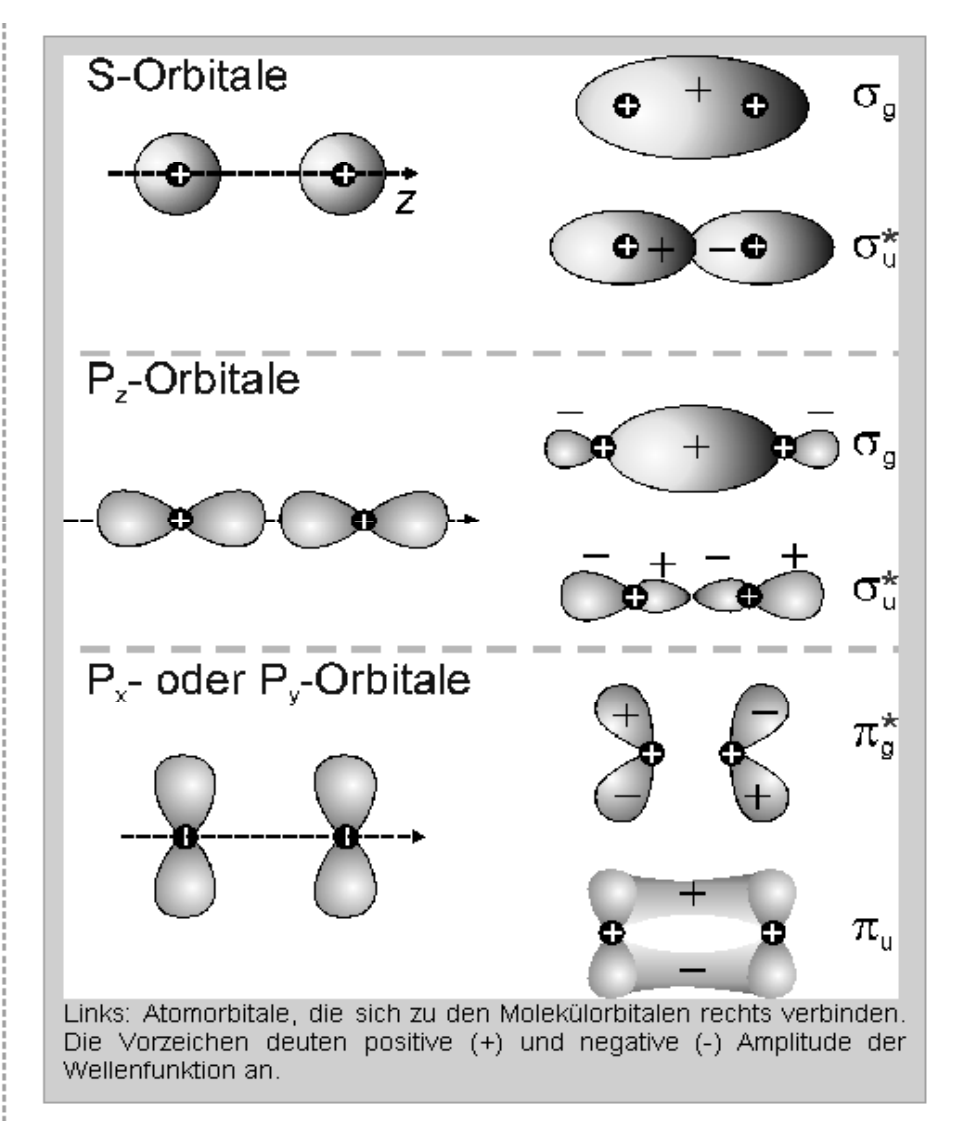
Bestehen aus Atomen der gleichen Sorte.

- Wegen axialer Symmetrie ist nur die Projektion L_Z des Bahndrehimpulses, nicht der Betrag definiert.
- ▶ Es gibt gerade und ungerade Orbitale.
- ▶ Notation: $\lambda = |m| = 0, \pm 1, \pm 2, \pm 3... (\sigma, \pi, \delta...)$
- ▶ Die Ladungsverteilung ist symmetrisch.
- Die Bindung ist kovalent.

Atom	Molekül	Entar	rtung
р		-π*	2 4 2 4
<u>s</u> -<		**	2 2

Beispiele für kovalente Bindungen(vgl. ■):

	D(eV)	$r_K(A)$	p(mC)
$\overline{\mathrm{H}_2}$	4,5	0,7	0,0
O_2	5,1	1,2	0,0
CO	11	1,1	0,1



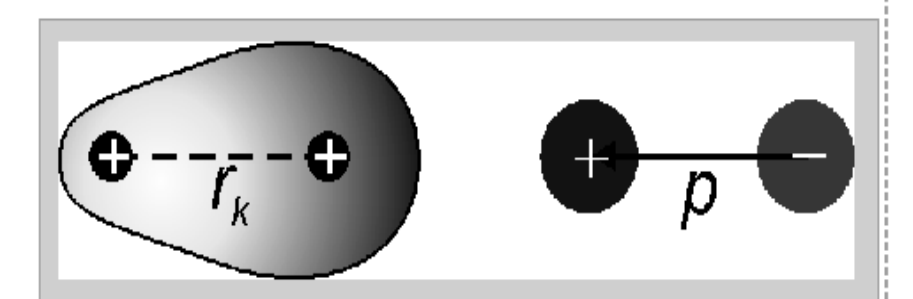
Heteronukleare Moleküle

Bestehen aus ungleichen Atomen

- Keine r\u00e4umliche Symmetrie.
- Keine gerade und ungerade Wellenfunktionen.
- Auftreten von Ionenbindungen ist möglich.

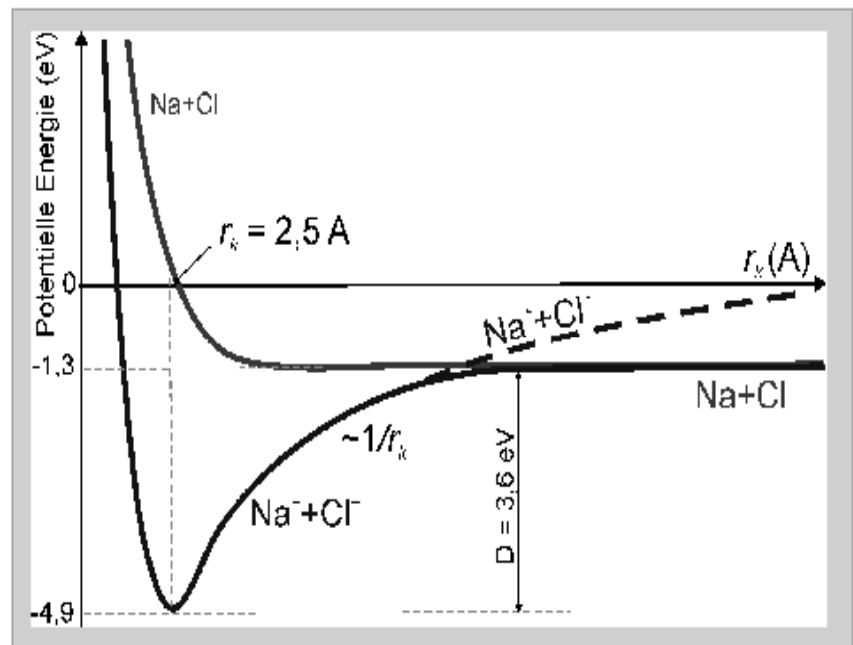
Ionenbindung

- Tritt auf, wenn Elektronenverteilung asymmetrisch zu einem Kern hin verlagert ist.
- Übergang zu zwei Ionen ist leicht möglich.
- ▶ Haben elektrisches Dipolmoment p.=
- Sind meist Verbindungen zwischen Elementen aus 1. bzw. 2. und 2.- bzw. 3.-letzter Spalte des Periodensystems.



Beispiel: NaCl bestehend aus

- ▶ Na mit einem 3s-Elektron
- ▶ CI mit einem 3s-Loch



Beispiele für Ionenbindungen (vgl. 🖘)

	D(eV)	$r_K(A)$	p(mC)
NaCl	3,6	2,5	8,0
HCL	4,4	1,3	1,0

sp-Hybridisierung

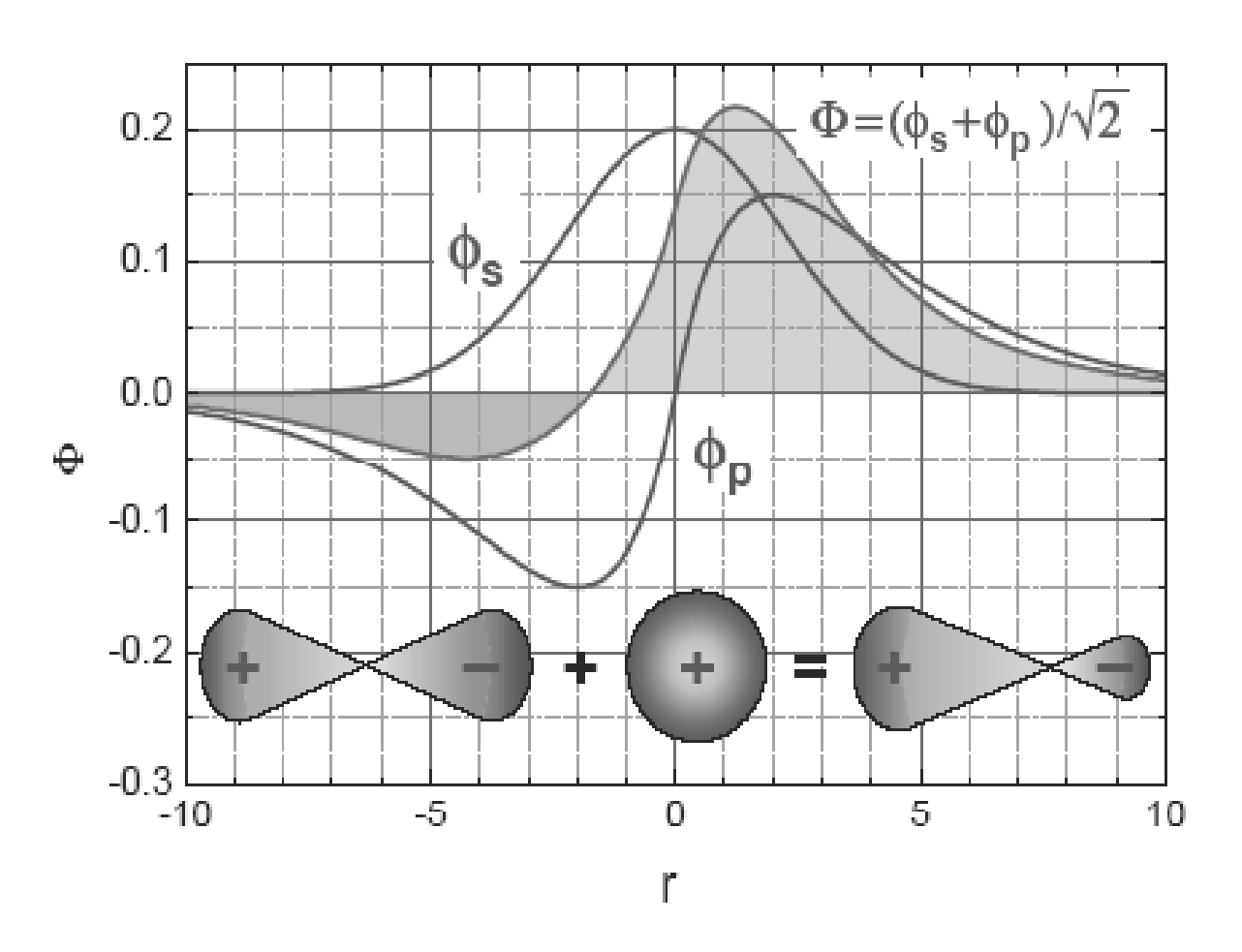


Abbildung 9.19: Schematische Darstellung der Bildung einer Linearkombination von s- und p-Orbitalen zur Bildung eines sp-Hybridorbitals.

sp-Hybridisierung

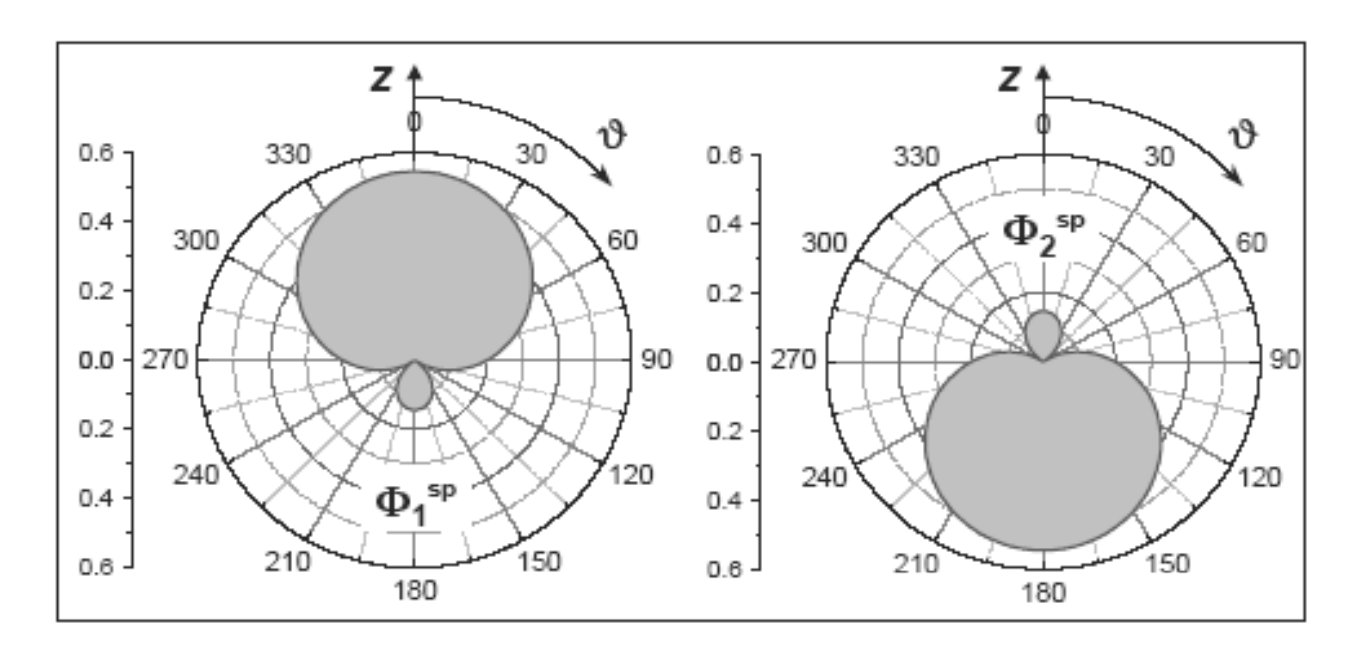


Abbildung 9.20: Polardarstellung der Orbitale der sp-Hybridisierung. Der Winkel ϑ wird gegen die z-Achse gemessen.

$$\Phi_{1} = c_{1}\phi(s) + c_{2}\phi(p_{z}) \int_{\Phi_{i}}^{|\Phi_{i}|^{2}} dV = 1
\Phi_{2} = c_{3}\phi(s) + c_{4}\phi(p_{z}) \int_{\Phi_{i}}^{*} \Phi_{k} dV = \delta_{ik}$$

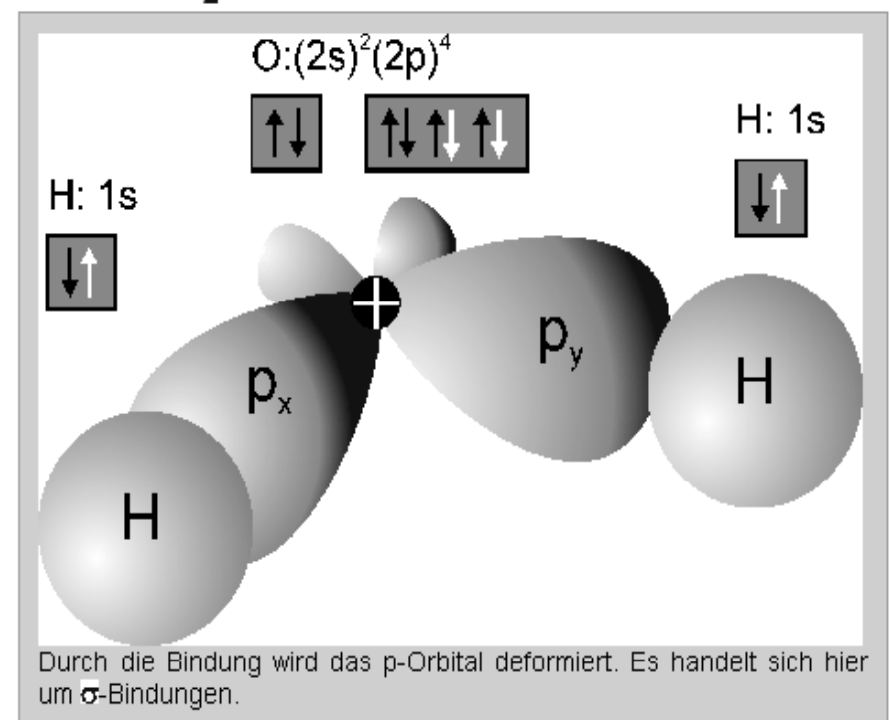
$$c_{1} = c_{2} = c_{3} = \frac{1}{\sqrt{2}} c_{4} = -\frac{1}{\sqrt{2}}
\Phi_{1} = \frac{1}{\sqrt{2}} (\phi(s) + \phi(p_{z}))
\Phi_{2} = \frac{1}{\sqrt{2}} (\phi(s) - \phi(p_{z})) : p_{z} = \sqrt{\frac{3}{4\pi}} \cos \vartheta \qquad \Phi_{1,2}^{sp}(\vartheta) = \sqrt{\frac{1}{8\pi}} \left(1 \pm \sqrt{3} \cos \vartheta\right)$$

Vielatomige Moleküle

Wichtige Eigenschaften:

- ▶ Molekulare Symmetrie
- ▶ Geometrische Anordnung
- Bindung durch überlappende nicht voll besetzte Orbitale

Beispiel: H₂O (Wasser)



Eigenschaften:

- 2 σ-Bindungen
- [▶] Öffnungswinkel: 104,5°
- ▶ Dipolmoment: p = 6 10⁻³⁰ mC

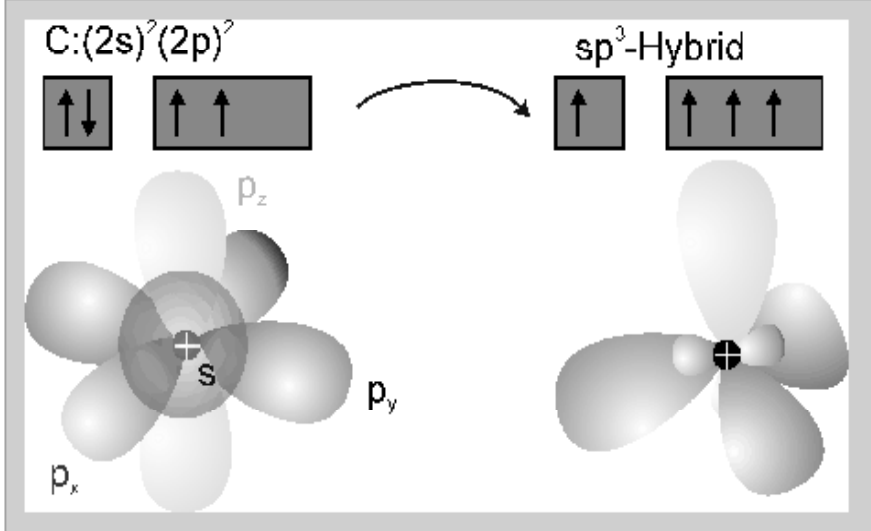
Beispiel: NH₃ (Amoniak)

Eigenschaften:

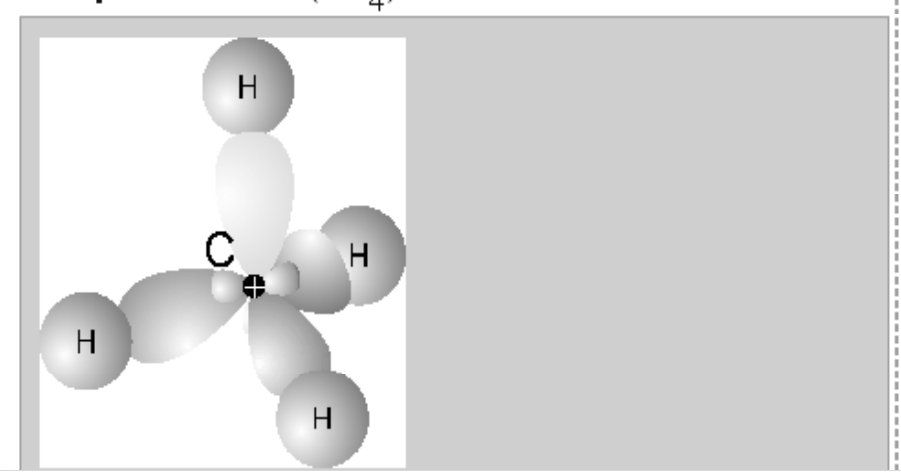
- 3 σ-Bindungen
- Pyramidenform mit Öffnungswinkel von 107°
- ▶ Dipolmoment: p = 5 10⁻³⁰ mC

sp³-Hybridwellenfunktion

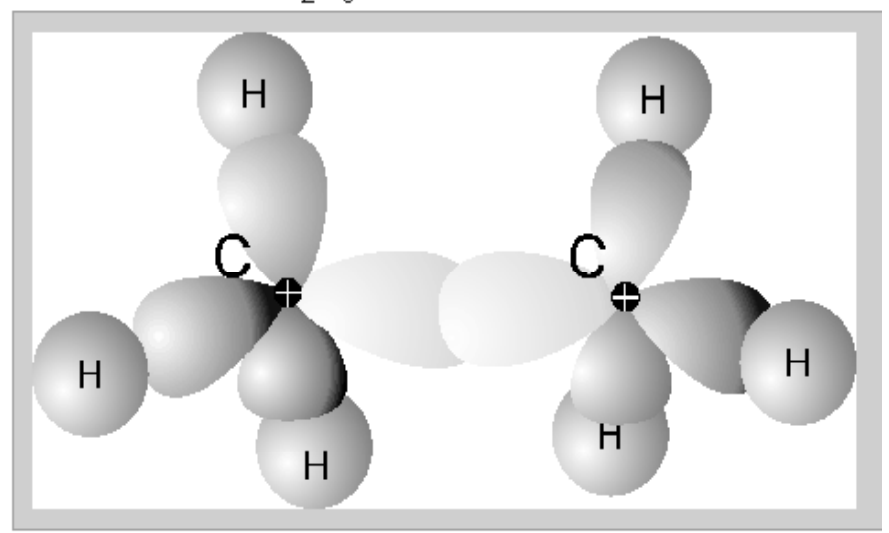
Hypridisierung von einem s- und drei p-Orbitalen bei Kontakt z.B. mit vier H-Atomen.



Beispiel: Methan (CH₄)



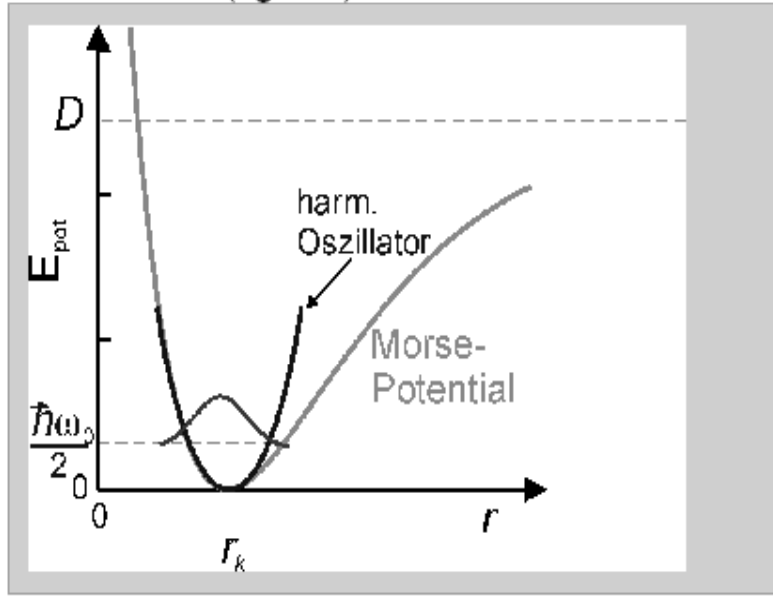
Beispiel: Äthan(C₂H₆)



In beiden Fälle liegen 4 σ -Bindungen vor.

Zusammenfassung Schwingungen

Atome können um ihre Gleichgewichtslage schwingen. Nähere Morse-Potential adurch harmonischen Oszillator an (vgl. a).



Der quantenmechanische Oszillator bestimmt die Schwingungsniveaus:

$$E_n = (n + \frac{1}{2})\hbar\omega_0$$

Die Dissoziationsenergie muss um die Nullpunktsenergie korrigiert werden:

$$D_e = D - \frac{1}{2}\hbar\omega_0$$

Für Übergänge mit $\Delta n = \pm 1$ gilt

$$\Delta E = \hbar \omega_0$$

Beispiele sind

	$\hbar \omega_0 (\text{eV})$
$\overline{\mathrm{H}_2}$	0,543
O_2	0,194
CO	0,268

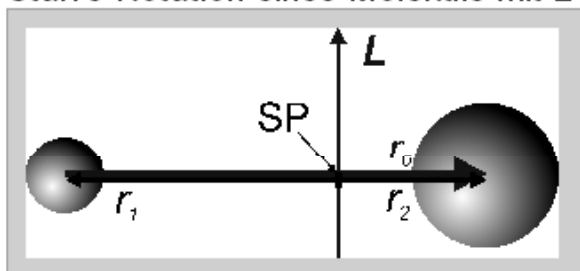
Für Vibrationsspektren gilt:

- Übergänge liegen im Infraroten.
- ▶ Auswahlregel für elektrische Übergänge: ∆n=±1
- Elektrische Übergänge gibt es nur wenn ein Dipolmoment vorhanden ist
- Also keine reinen Vibrationsspektren bei homonuklearen Molekülen.

denn dann symmetrische Ladungsverteilung

Zusammenfassung: Molekülare Rotation

Starre Rotation eines Moleküls mit 2 Atomen



Das Trägheitsmoment ist

$$I = \sum_{Ionen} M_i r_i^2 = \mu r_0^2$$

und die Rotationsenergie

$$E_{rot} = \frac{1}{2I}L^2 = \frac{\hbar^2}{2I}l(l+1) = Bhcl(l+1)$$

Das Trägheitsmoment wird angegeben als

$$B = \frac{\hbar}{4\pi cI}$$

Für Übergänge mit ∆/=1 gilt:

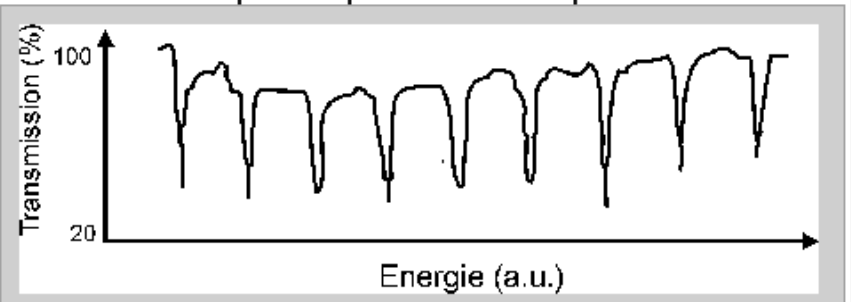
$$\Delta E_{rot} = 2Bhc(l+1)$$

Rotationsniveaus und charakteristische Werte

4		
/	$\hbar^2/2I$ (eV)	B (1/em)
H_2	8.010 ⁻³	60,8
$A_2 \longrightarrow A_1 = 1$ O_2	1.810 ⁻⁴	1,4
1 CO	2.410 ⁻⁴	1,9

- Rotationszustände sind bei Zimmertemperatur (1/40 eV) angeregt.
- Übergänge im Infraroten bis Mikrowellenbereich
- ▶ Auswahlregel für elektrische Übergänge: ∆/=±1
- Elektrische Übergänge gibt es nur wenn ein Dipolmoment vorhanden ist
- Also keine reinen Rotationsspektren bei homonuklearen Molekülen.

Rotationsabsorptionsspektrum mit äquidistante Linien:

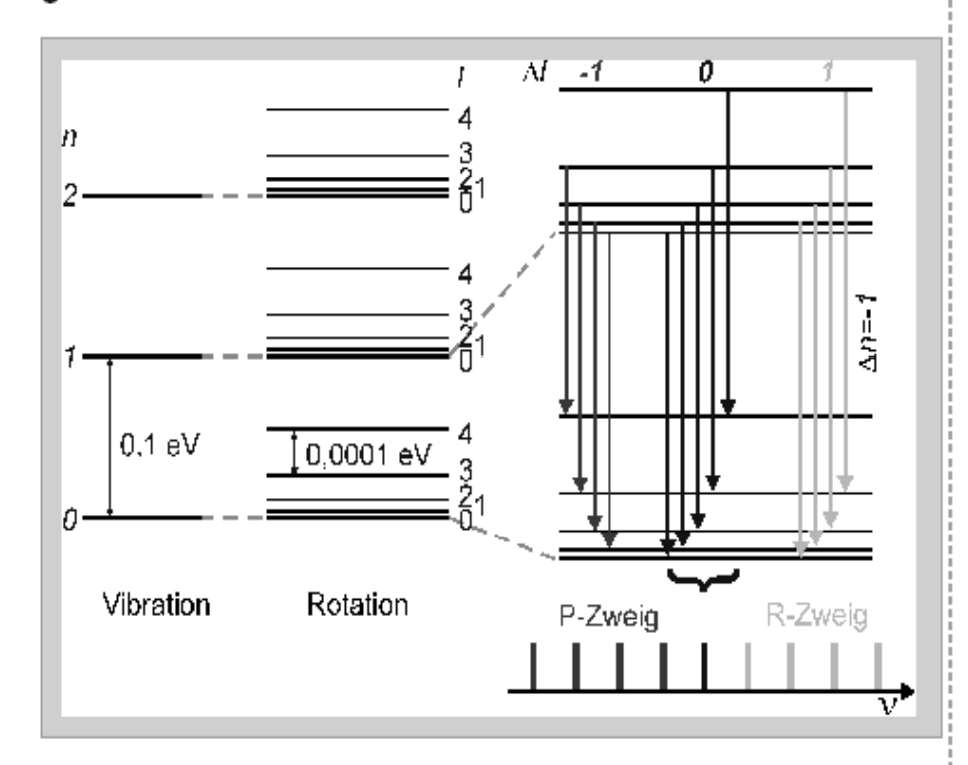


Rotation-und Vibrationsspektren

Rotations- und Vibrations-Spektren treten gemeinsam auf:

$$E = (n + \frac{1}{2})\hbar\omega_0 + \frac{\hbar^2}{2I}l(l+1)$$

Sie sind aber wegen $E_n/E_{rot} \approx 1000$ spektral getrennt.



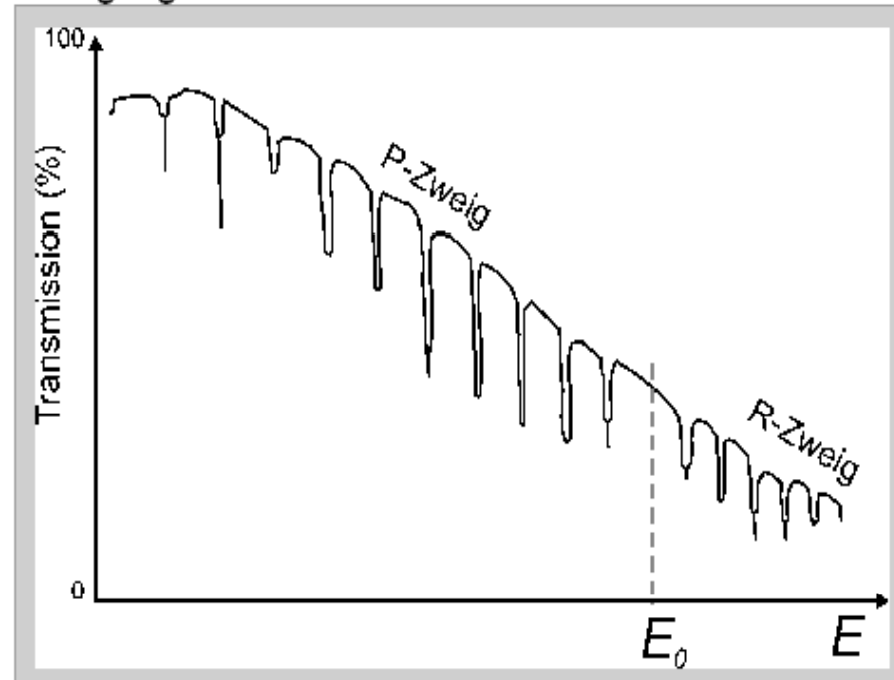
Zu jedem Vibartionsübergang gehört eine Rotationsbande

$$E = \hbar \omega_0 + 2Bc(l+1)$$

mit

- ▶ R-Zweig für ∆I = +1
- **P**-Zweig für **∆**I = -1

Transmissionsspektrum von Vibrations-Rotations-Übergängen in HCL.

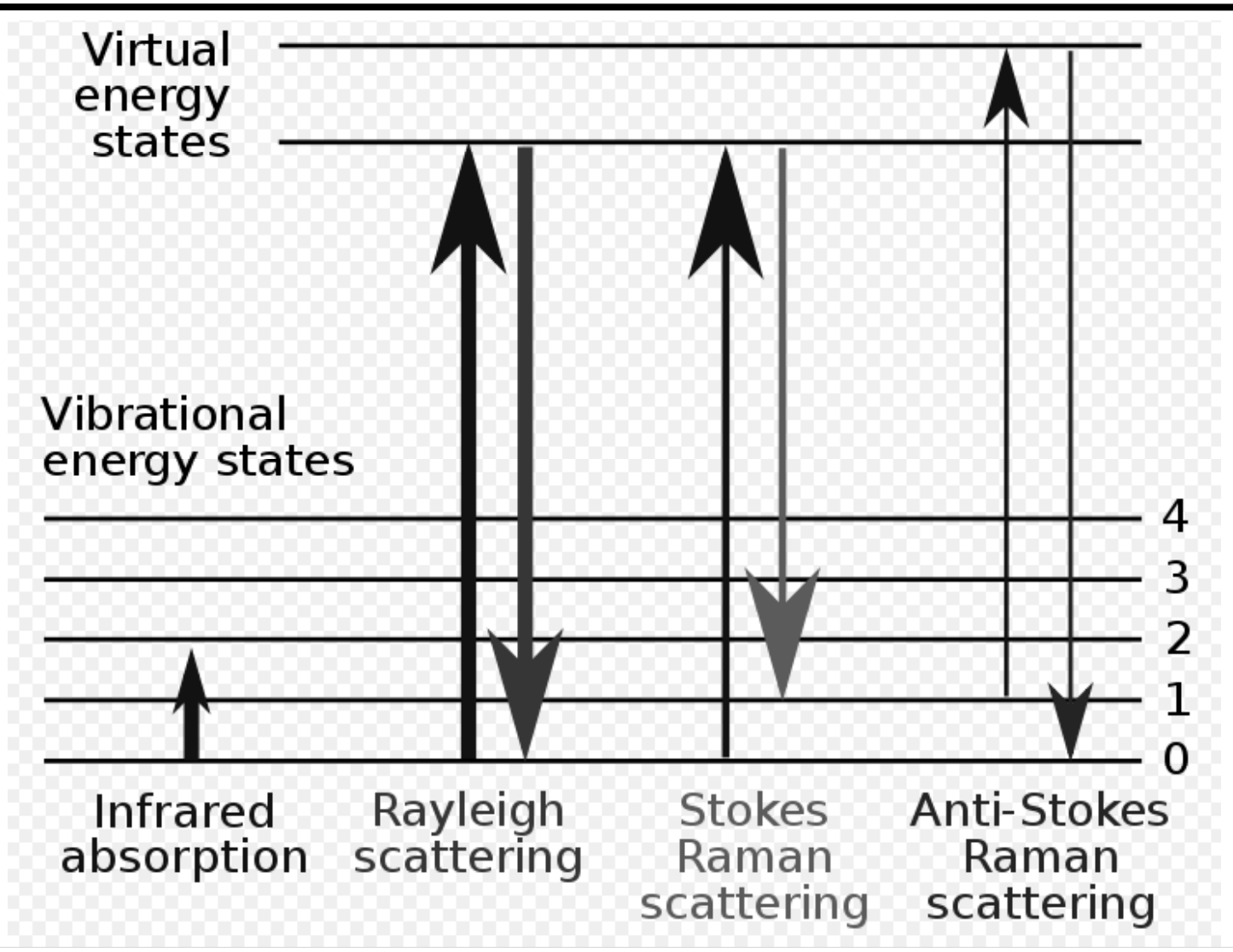


Rotations-Schwingungspektroskopie

Wichtigste Auswahlregeln bei der Rotations-Schwingungsspektroskopie:

 $\Delta n=\pm 1$ für Schwingungen $\Delta l=\pm 1,0$ für Rotationen

IR und Raman Spektroskopie



Energieniveaus bei Raman Streuung. Die Liniendicke is proportional zur Intensität.